

# ÍNDICE GENERAL

---

<b>I</b>	<b>PRELIMINARES</b>	<b>1</b>
1	INTRODUCCIÓN	2
1.1	Definición del problema	2
1.2	Principales enfoques	3
1.3	Trabajos previos	4
1.4	Contribuciones	5
<b>II</b>	<b>MARCO TEÓRICO</b>	<b>7</b>
2	SPEAKER DIARISATION	8
2.1	Aplicaciones de <i>speaker diarisation</i>	8
2.2	Componentes del sistema	9
2.3	Procesamiento de señal	10
2.3.1	Esquema general del sistema	10
2.3.2	Pre-procesamiento de señal de audio	10
2.3.3	Obtención de características acústicas	11
3	MODELOS DE MÁRKOV	16
3.1	Cadena de Markov	17
3.2	Cadena oculta de Márkov	20
3.3	Estimación de Máxima Verosimilitud del HMM	23
3.3.1	Estimación de parámetros del HMM	23
3.3.2	Algoritmo <i>backward-forward</i>	26
4	SELECCIÓN DE MODELO	31
4.1	Bootstrap paramétrico	32
4.2	Funciones de penalización	32
4.2.1	BIC	32
4.2.2	Otras	32
4.3	Selección de modelo usando bootstrap con likelihood ratio testing	32
4.4	Selección de modelo usando BIC	33
<b>III</b>	<b>MARCO EXPERIMENTAL</b>	<b>35</b>
5	METODOLOGÍA	36
5.1	Esquema general	36
5.2	Resolver modelo HMM usando EM	36
6	EXPERIMENTOS Y RESULTADOS	38
6.1	Experimentos	39
6.1.1	Secuencia 1	39
6.1.2	Secuencia 2	45
6.1.3	Secuencia 3	50
6.1.4	Secuencia 4	55

6.1.5	Secuencia 5	61
6.1.6	Secuencia 6	66

BIBLIOGRAFÍA	73
--------------	----

## ÍNDICE DE FIGURAS

---

Figura 2.1	Señal original de audio.	11
Figura 2.2	Identificación y eliminación de silencio en señal.	12
Figura 2.3	Banco de filtros triangulares en frecuencia Mel.	13
Figura 2.4	Respuesta al banco de filtros.	13
Figura 2.5	Mel Frequency Cepstrum Coefficients.	14
Figura 2.6	MFCC agrupados con k-means++.	15
Figura 3.1	Observaciones independientes e idénticamente distribuidas.	17
Figura 3.2	Modelo de Márkov de primer orden.	18
Figura 3.3	Modelo de Márkov de segundo orden.	19
Figura 3.4	Modelo oculto de Márkov.	19
Figura 3.5	Matriz de transición de modelo oculto de Márkov (grafo).	21
Figura 3.6	Matriz de transición de modelo oculto de Márkov (rejilla).	22
Figura 6.1	Secuencia 1: Parámetros estimados (1)	40
Figura 6.2	Secuencia 1: Parámetros estimados (2)	41
Figura 6.3	Secuencia 1: Pruebas BIC	42
Figura 6.4	Secuencia 1: Pruebas de hipótesis usando bootstrap	43
Figura 6.5	Secuencia 1: Secuencia recuperada	44
Figura 6.6	Secuencia 2: Parámetros estimados (1)	45
Figura 6.7	Secuencia 2: Parámetros estimados (2)	46
Figura 6.8	Secuencia 2: Pruebas BIC	47
Figura 6.9	Secuencia 2: Pruebas de hipótesis usando bootstrap	49
Figura 6.10	Secuencia 2: Secuencia recuperada	50
Figura 6.11	Secuencia 3: Parámetros estimados (1)	51
Figura 6.12	Secuencia 3: Parámetros estimados (2)	52
Figura 6.13	Secuencia 3: Pruebas BIC	53
Figura 6.14	Secuencia 3: Pruebas de hipótesis usando bootstrap	54
Figura 6.15	Secuencia 3: Secuencia recuperada	55
Figura 6.16	Secuencia 4: Parámetros estimados (1)	56
Figura 6.17	Secuencia 4: Parámetros estimados (2)	57
Figura 6.18	Secuencia 4: Pruebas BIC	58
Figura 6.19	Secuencia 4: Pruebas de hipótesis usando bootstrap	59

Figura 6.20	Secuencia 4: Secuencia recuperada	60
Figura 6.21	Secuencia 5: Parámetros estimados (1)	61
Figura 6.22	Secuencia 5: Parámetros estimados (2)	62
Figura 6.23	Secuencia 5: Pruebas BIC	63
Figura 6.24	Secuencia 5: Pruebas de hipótesis usando bootstrap	65
Figura 6.25	Secuencia 5: Secuencia recuperada	66
Figura 6.26	Secuencia 6: Parámetros estimados (1)	67
Figura 6.27	Secuencia 6: Parámetros estimados (2)	68
Figura 6.28	Secuencia 6: Pruebas BIC	69
Figura 6.29	Secuencia 6: Pruebas de hipótesis usando bootstrap	70
Figura 6.30	Secuencia 6: Secuencia recuperada	71

## ACRÓNIMOS

---

HMM	Modelo Oculto de Márkov (Hidden Markov Model)
E-HMM	Modelo Oculto de Márkov Evolutivo (Evolutive Hidden Markov Model)
GMM	Modelo de Mezcla de Gaussianas (Gaussian Mixture Model)
BIC	Criterio de Información Bayesiano (Bayesian Information Criterion)
MFCC	Coeficientes Cepstrales en la Frecuencia Mel (Mel Frequency Cepstral Coefficients)
FT	Transformada de Fourier (Fourier Transform)
FFT	Transformada Rápida de Fourier (Fast Fourier Transform)
DCT	Transformada de Coseno Discreta (Discrete Cosine Transform)
EM	Expectation-Maximization (Esperanza-Maximización)

## Parte I

### PRELIMINARES

## INTRODUCCIÓN

---

### 1.1 DEFINICIÓN DEL PROBLEMA

En los últimos años la tarea de *Speaker Diarisation* se ha vuelto una parte importante de diferentes procesos que se realizan con las grabaciones de audio, tales como la identificación y navegación por segmentos en específico, además de la búsqueda y recuperación de información en grandes volúmenes de secuencias de audio.

La investigación desarrollada referente a *speaker diarisation* se ha guiado principalmente de acuerdo a la financiación existente para proyectos específicos. Hasta principios de la década de 1990, el trabajo de investigación se concentraba en trabajar con grabaciones telefónicas. Principalmente se usaba para segmentar la conversación, así como etapa de pre-procesamiento para luego realizar reconocimiento y/o transcripción del habla.

Para la década del 2000, las aplicaciones fueron cambiando, a la par que aumentaba la capacidad disponible de almacenamiento; por lo que creció el interés de mantener un registro de forma automática de noticieros televisivos y transmisiones de radio a lo largo de todo el planeta. Entre la información más útil que se registraba de las grabaciones, era la transcripción del diálogo, meta-etiquetas referentes al contenido así como la segmentación y le orden de las personas que intervienen en la grabación.

A principios del año 2002, empezaron a surgir varios proyectos de investigación cuya principal intención era mejorar la comunicación interpersonal, y en especial la que ocurre a larga distancia y de forma multimodal. La investigación y desarrollo se enfocó en extracción del contenido y su etiquetación de acuerdo a las personas que participan, ya sea para mantener un archivo histórico, o para fácil disposición de personas interesadas en su contenido.

Debido a la creciente investigación en estos campos, el Instituto Nacional para los Estándares y la Tecnología de los Estados Unidos (NIST por sus siglas en inglés), ha organizado un sistema de

oficial de evaluaciones que permita unificar así como dirigir el esfuerzo de los investigadores que trabajan en esta área; al tener una manera precisa de comparar las diferentes metodologías en las que trabajan. Primero, en el 2002 las pruebas consistían en grabaciones correspondientes a noticieros, y para el 2004 se empezaron a incluir pruebas con grabaciones de reuniones, que resultaban ser la principal aplicación en esos años.

Una gran diferencia entre ambos tipos de entornos, es que mientras en un noticiero se suelen tener preparados los diálogos que se dirán e incluso se leen las noticias; en el caso de las reuniones la conversación es más espontánea y puede suceder que dos personas hablen al mismo tiempo.

Otra característica diferente, es que mientras en un noticiero cada participante suele tener un micrófono de solapa o hay micrófonos ambientales, éstos suelen ser de calidad, por lo que no el audio de la grabación es mucho mejor y no hay mucho ruido presente en la señal.

Por otro lado, para el caso de las reuniones, el ambiente no suele ser tan controlado, y puede haber un mayor ruido ambiental; además de que tanto la disposición de los micrófonos así como su calidad no siempre son la mejor, agregando interferencia o redundancia innecesaria a la señal.

Por eso, se considera el caso de reuniones como el escenario completo para las tareas involucradas con reconocimiento del habla; por la complejidad y los diferentes problemas que se pueden presentar.

En este trabajo de tesis se abordará el problema usando un escenario similar al del noticiero, en donde no hay ruido ambiental y los diálogos son más o menos continuos, además de que los participantes no se interrumpen al hablar.

## 1.2 PRINCIPALES ENFOQUES

De acuerdo al trabajo desarrollado hasta ahora, se puede distinguir que hay dos grandes enfoques que se usan para *speaker diarisation: bottom-up* (de abajo a arriba) y *top-down* (de arriba a abajo). De forma general, se consideran *bottom-up* las metodologías en las que se inicia la estimación con pocos clústers (e incluso un sólo segmento), y *top-down* aquellas en las que se inicia la estimación con muchos más clústers de los que se esperan encontrar.



Ambos enfoques iteraran hasta converger a un número de clústers óptimo, en que cada grupo debe corresponder a un interlocutor.

Para ambas estrategias se suelen usar Modelos Ocultos de Márkov (HMMs) donde cada estado se representa muchas veces como Modelos de Mezclas de Modelo de Mezcla de Gaussianas (GMM) y corresponde a cada interlocutor. Las matrices de transición entre estados representan el cambio entre la persona que está hablando; mientras que las matrices de una emisión corresponden a la probabilidad de los interlocutores de *decir* cada una de las *palabras* que se definan.

Es importante remarcar que con *decir una palabra* no necesariamente se refiere a la acción de que una persona pronuncie una palabra; sino que se definirá un *diccionario de palabras* que en realidad es conjunto de vectores de características que representen la señal de audio de forma discreta; y cada interlocutor tendrá una probabilidad de emisión asociada para cada uno de estos vectores.

### 1.3 TRABAJOS PREVIOS

En el trabajo de Anguera et al. [AMBE<sup>+</sup>12] se hace un profundo análisis sobre el estado del arte hasta hace un año, y se mencionan las principales características de cada uno de estos trabajos, que a continuación se resumen.

Dentro de los trabajos que usan un enfoque *bottom-up* se encuentran por ejemplo el de Anguera et al. [AMWP06], en donde se propone una medida de similitud entre clústers utilizando una variante de Criterio de Información Bayesiano (BIC) para decidir qué pares de clústers agrupar, así como para establecer un criterio de paro.

En el trabajo de Wooters et al. [WH07], también proponen una métrica basada en BIC para la aglomeración de los grupos, pero se enfocan principalmente en mejorar una etapa de pre-procesamiento de la señal para detectar cuando alguien habla o no habla en la grabación. Esto es esencial cuando por ejemplo, se puede tener segmentos musicales o momentos en los que el ruido.

Por otro lado, en el trabajo de Nguyen et al. [NLS09] se presentan dos funciones objetivo que buscan maximizar la distancia intra-clase y la distancia inter-clase y que automáticamente deducen el número óptimo de grupos para esto. Después realizan un

proceso de aglomeración jerárquico, pero en un subespacio espectral en que sean separables más fácilmente los interlocutores.

Mencionando algunos de los trabajos que son del tipo *top-down*, se tiene por ejemplo a Meignier et al. [MBIo1] quien propone un sistema conformado por un Modelo Oculto de Márkov Evolutivo (E-HMM), en el que mediante un proceso iterativo se van detectando y agregando interlocutores al modelo propuesto. El método propuesto busca reducir las falsas detecciones al incorporar información al sistema tan pronto como sea detectada.

En el trabajo de Fredoulle et al. [FEo7] también proponen un sistema en el que se usa un E-HMM para la estimación de parámetros, pero además realizan una etapa de pre-procesamiento más extensa: primero usan un HMM de dos estados para diferenciar los silencios de la actividad de los interlocutores y luego mediante una ventana movable evalúan cuándo es más probable que haya cambio entre los hablantes, de acuerdo al Generalized Likelihood Ratio. A partir de esa información es como delimitan más el problema, y sólo tienen que buscar cada segmento encontrado a qué interlocutor corresponde.

Además, en otro trabajo de Fredoulle et al. [FBEo9] presentan el sistema *top-down* anteriormente usado pero ahora se enfocan en el uso de múltiples micrófonos a diferentes distancias para obtener más información y mejorar la etapa de segmentación. También, en este sistema descartan la etapa de pre-segmentación que anteriormente se había propuesto para encontrar los posibles cambios entre interlocutores.

Por último, en la misma línea de trabajo, Bozonnet et al. [?] muestran más

#### 1.4 CONTRIBUCIONES

Como contribuciones principales de este trabajo se encuentran la proposición de un modelo sencillo para la detección y segmentación de interlocutores en una grabación de audio.

Esencialmente, el trabajo realizado se centra en la selección adecuada del número de estados ocultos o participantes de la cadena de Márkov modelada, donde a través de un análisis de sensibilidad se encuentra un valor de  $\lambda$  que penaliza de forma adecuada la log-verosimilitud en la función de costo propuesta.

Además, mediante pruebas de hipótesis, y realizando bootstrap paramétrico se comprueba la certeza del modelo seleccionado :).

## Parte II

### MARCO TEÓRICO

## SPEAKER DIARISATION

---

Se conoce como *Speaker Diarisation* al problema de segmentación automática de audio a partir de la identificación de las diferentes personas que participan en una grabación. Esto se realiza generalmente identificando los segmentos que son más *homogéneos* y a partir de estos, identificar el número de personas que hablan en la grabación.

Se considera que cada persona posee ciertas características propias que la diferencian de los demás. Por ejemplo, tanto la tesitura como el timbre son rasgos que varían de persona a persona.

La idea básica cuando se busca abordar este problema es el de poder segmentar la señal de audio de acuerdo a los cambios que ocurren en ésta. Es decir, detectar por ejemplo las variaciones en la voz (que usualmente implican que alguien más está hablando) y luego, con todos los segmentos obtenidos, tratar de agruparlos según características similares; pues una misma persona tiene características propias en su voz.

### 2.1 APLICACIONES DE *speaker diarisation*

Por la misma naturaleza del problema, cuando se realiza *speaker diarisation*, lo que se trata de inferir es cuántas personas hablan, y en qué momentos habla cada una de ellas; es decir, se identifica a un grupo  $n$  de personas, pero no se dice nada acerca de ellos o su identidad.

Debido a esto, las etiquetas asignadas a cada persona identificada en la grabación puede cambiar, pues no hay nada que nos permita asociar de manera no arbitraria una etiqueta a una persona en específico. Es decir, el orden en que se asignan las etiquetas puede cambiar, aunque la segmentación obtenida sea en esencia la misma.

La segmentación y agrupación de voz, es una parte importante de la transcripción de voz, así como también del reconocimiento de voz e identificación de personas que hablan.

Es de gran ayuda para la tarea de reconocimiento de voz, puesto que éste se basa en identificar palabras completas; por lo que al lograr segmentar una señal de audio de acuerdo a las personas que hablan, se tendrá entonces muy seguramente una buena segmentación tanto de palabras como oraciones completas.

En cuanto a la identificación de personas y alguna otra modelación acústica que se quiera realizar; es importante que los modelos que se entrenan usen segmentos de audio homogéneos (en este caso, que se tenga la certeza que corresponden a la misma persona), para que en realidad se esté modelando la voz de la persona, y no algo diferente a ella.

Como último ejemplo, la transcripción automática de voz, es el proceso en el que además de lograr identificar cuándo habla cada persona, se identifica de quién se trata realmente esta persona, y qué es lo que está diciendo. Ésto sirve por ejemplo, cuando se tiene una gran cantidad de grabaciones de audio; y se desea etiquetar de qué se habla en cada una de estas grabaciones.

## 2.2 COMPONENTES DEL SISTEMA

Para diseñar un sistema que sea capaz de resolver el problema de *speaker diarisation*, se debe de primero plantear la formulación matemática que se abordará.

En general, todos los sistemas que involucran procesamiento de voz, tienen varias etapas esenciales, como se menciona en Jelinek [Jel98].

1. Procesamiento acústico Lorem ipsum dolor sit amet, consectetur adipiscing elit. Sed sed tortor vitae mi imperdiet scelerisque ac adipiscing dolor. Nam nulla justo, adipiscing sit amet sem eu, accumsan hendrerit diam.
2. Modelado acústico Aliquam consequat fringilla commodo. Donec fermentum massa sed eros rhoncus ultricies. Curabitur ac scelerisque mauris. Nulla tellus leo, fermentum ac pulvinar vel, fermentum id neque. Integer tincidunt consequat mauris at auctor. Aenean placerat risus quis massa ullamcorper lobortis.

3. Modelado del lenguaje Proin eu erat id augue congue rhoncus ac tempus velit. Mauris posuere, nibh ac euismod accumsan, metus sem tristique dolor, eget facilisis justo risus id justo. Duis nisi erat, viverra ac consectetur fermentum, commodo mollis libero. Cras a enim ac dolor sagittis euismod. Mauris in consequat nulla.
4. Búsqueda de hipótesis In hac habitasse platea dictumst. Pellentesque sed pulvinar sem, at consectetur tortor. Cras vitae iaculis dui, a sodales dolor. Proin lobortis, mauris quis varius hendrerit, ante libero mollis dolor, non pharetra neque nibh ac lorem.

### 2.3 PROCESAMIENTO DE SEÑAL

Antes de abordar de lleno el problema de *speaker diarisation*, se tiene que realizar cierto tratamiento a la señal de audio con la que se trabajará.

Es decir, a partir de la señal de entrada (que se considerará es digital) se tratarán de obtener vectores de características cada cierto tiempo, que representen de forma adecuada los rasgos que nos interesan distinguir.

Una vez que se tienen estos vectores, se les aplica un algoritmo de aglomeración para entonces obtener un conjunto de etiquetas que se podrían considerar como posibles estados o palabras de diccionario referentes a la señal de audio.

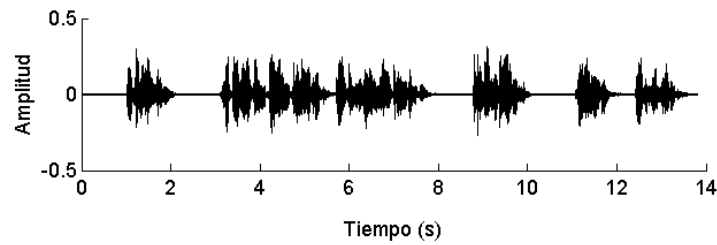
El proceso en detalle se especifica a continuación:

#### 2.3.1 Esquema general del sistema

–Insertar dibujo y explicarlo–.

#### 2.3.2 Pre-procesamiento de señal de audio

Se considera que se tiene una señal digital de voz, y que a partir de ésta se identificarán a las diferentes personas que hablan durante la grabación.



**Figura 2.1:** Señal original de audio.

El primer paso en el procesamiento de la señal, es tanto la detección como eliminación de silencios; pues éstos realmente no nos interesan para la modelación del sistema.

Para realizar entonces la detección de los silencios, en esta primera etapa y como un primer intento para la eliminación de silencios, se hace una detección básica de qué partes de la señal son mayormente silencios.

Para esto, se utiliza una ventana móvil que se irá recorriendo a lo largo señal, y que irá calculando el total de energía de la señal dentro de la ventana. Se considerará entonces silencio aquellas partes de la señal cuyo total de energía esté debajo de un umbral específico.

A partir de esta ventana se obtienen entonces las regiones que pertenecen tanto al silencio, como a la señal que realmente se desea modelar.

Como se observa en la [Figura 2.2b](#) basta entonces con eliminar los segmentos que con baja energía y reagrupar la señal restante.

Con esto, se obtiene una señal en general más pequeña, y que se podría considerar sólo contiene realmente los datos que se desea modelar.

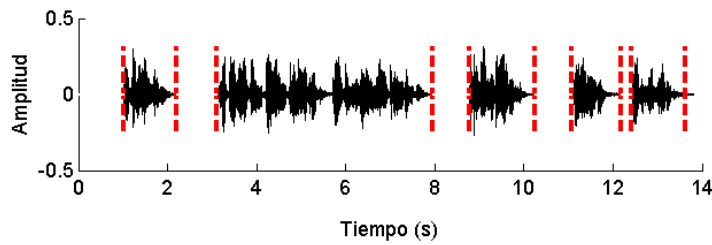
*Nota: Tanto en ancho de la ventana, como el umbral para definir si será silencio se pueden ajustar dependiendo del tipo de señal.*

### 2.3.3 Obtención de características acústicas

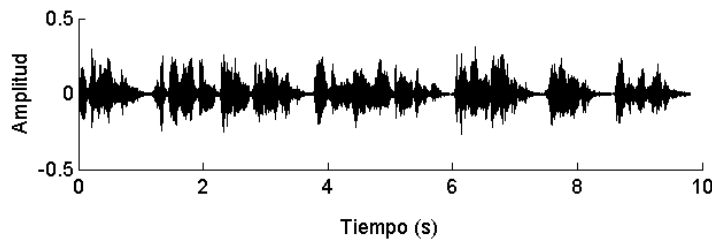
Una vez que se tiene la señal ya sin silencios, se trata de buscar características propias de la señal de audio que nos permitan identificar de buena forma los cambios de voz a través de la señal.

Tanto la extracción como selección de la mejor representación paramétrica de la señal de audio es una importante tarea en el diseño de cualquier sistema relacionado al reconocimiento o procesamiento de señales de audio.





(a) Señal original con silencio identificado.



(b) Señal procesada y recortada.

**Figura 2.2:** Identificación y eliminación de silencio en señal.

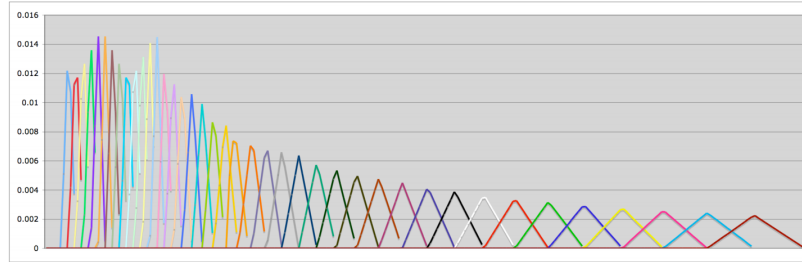
Para la tarea de *speaker diarisation*, se usarán los Coeficientes Cepstrales en la Frecuencia Mel (**MFCC**), que son ampliamente utilizados por ejemplo en *speaker diarisation* entre otros procesos relacionados al procesamiento de voz; cuyo objetivo es comprimir la señal de audio eliminando la información que no es útil para análisis fonético.

Cabe mencionar, que originalmente los **MFCC** fueron diseñados para la tarea específica de reconocimiento de voz [referencia ICASSP 82], por lo que al momento de diseñarlos se trataba principalmente de que una misma palabra fuera parametrizada de la misma manera sin importar quién fuera quien la pronunciara.

Esto va en contra del proceso requerido en *speaker diarisation*, puesto que se desea identificar a las diferentes personas que hablan, sin dar tanta importancia a qué es lo que están diciendo; por lo que la tarea de segmentación de señales de audio se vuelve un poco más complicada.

Para calcular los **MFCC**, se usa la Escala de Frecuencia Mel, que está espaciada de forma lineal en frecuencias bajas, mientras que aumenta su separación de forma logarítmica para frecuencias más altas. Este cambio de separación se realiza comúnmente a partir de los 1000Hz.

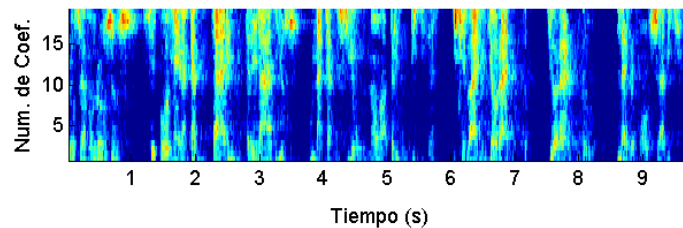
A partir de esta escala, se diseña un banco de filtros triangulares que después se usará (Ver [Figura 2.3](#)); y esto corresponde de forma similar a la que el oído (la cóclea) captura las características importantes del habla.



**Figura 2.3:** Banco de filtros triangulares en frecuencia Mel.

Puesto que el banco de filtros de Mel trabajan en la frecuencia; a la señal de audio se le calcula la Transformada de Fourier (FT) y entonces a ésta es a quien se le aplica el banco de filtros.

Sea pues [Figura 2.2b](#) la señal procesada sin los silencios, la respuesta que se obtiene al aplicar la Transformada Rápida de Fourier (FFT) y luego el banco de filtros de [Figura 2.3](#) se puede observar en la figura [Figura 2.4](#).

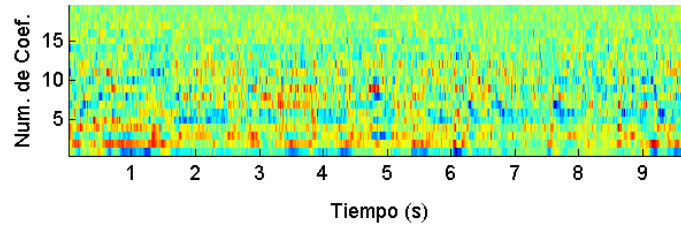


**Figura 2.4:** Respuesta al banco de filtros.

La dimensión de la respuesta al banco de filtros dependerá de la misma construcción del banco de filtros (tanto el número de canales que se usarán, como el tamaño de ventana que se usará para las convoluciones); pero en general se tendrá que es muy alta; por lo que es conveniente tratar de disminuir la dimensionalidad de estos datos.

Para esto, la respuesta obtenida del banco de filtros se le aplicará la Transformada de Coseno Discreta (DCT), para tratar de concentrar la energía en ciertos componentes (los primeros  $n$  coeficientes), y descartar los restantes.

Después de este proceso, nuestros datos se podrían representar de la siguiente manera (Figura 2.5) que son los MFCC que antes habíamos mencionado.



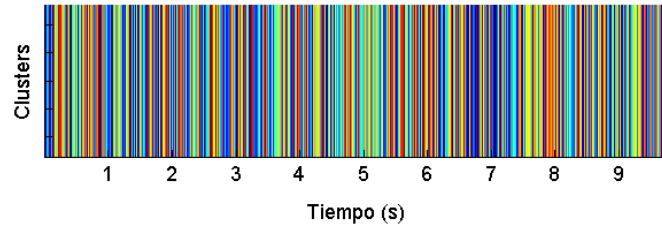
**Figura 2.5:** *Mel Frequency Cepstrum Coefficients.*

Por último, para los modelos que usaremos, se necesitan que las características estén de cierta forma *discretizadas*, es decir, no nos es útil el tener para cada observación en el tiempo un vector de características; sino que necesitamos una etiqueta o clase para cada observación.

Para esto, podemos utilizar diferentes métodos tanto de reducción de dimensionalidad como de agrupación/clasificación. Como primer idea, utilizaremos el método de *k-means* para agrupar los vectores de acuerdo a su cercanía en el espacio euclidiano.

Se tendría entonces el siguiente resultado para nuestra matriz de MFCC obtenida: Cabe aclarar que usamos una variante del algoritmo original de *k-means*, que se llama *k-means++* y que propone una mejor inicialización para obtener mejores resultados.

Ahora sí, con nuestro vector de etiquetas correspondiente a la señal de audio, se podrá aplicar un modelo y tratar de inferir los parámetros que le correspondan.



**Figura 2.6:** MFCC agrupados con *k-means++*.

---

**Algoritmo 1** *k-means++*

---

**Input:**

Conjunto de datos  $\{x_n\}_1^N$ , número de grupos  $k$

Iniciar  $\mu_{1:k} = \text{sample}(x_{1:N}, k)$

$t = 0$

$l_{1:N}^{(t)} = 0$

**repeat**

$t = t + 1$

$l_n^{(t)} = \arg \min_k \|x_n - \mu_k\|^2$

$r_{nk} = \mathbb{I}_k(l_n^{(t)})$

$\mu_k = \left\{ \sum_{n=1}^N r_{nk} x_n \right\} / \left\{ \sum_{n=1}^N r_{nk} \right\}$

**until**  $l^{(t)} == l^{(t+1)}$

---

Essentially, all models are wrong, but  
some are useful.

George E. P. Box

## MODELOS DE MÁRKOV

---

Como ya se mencionó en la Introducción, se debe proponer un modelo acústico o generativo, que será la forma en que entenderemos y trataremos de abstraer la conversación o diálogo, de acuerdo a las características que nos interesan recuperar.

Puesto que lo que nos interesa principalmente es identificar a las diferentes personas que participan en una conversación, nuestro modelo se deberá parametrizar de forma que logre capturar las características esenciales en la conversación; así como no tomar en cuenta información que no nos sea de utilidad para esta tarea, como por ejemplo, qué es lo que se está diciendo.

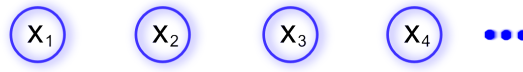
En aprendizaje máquina, por modelo generativo se entiende un modelo probabilístico para generar datos aleatoriamente que correspondan a la naturaleza de un cierto conjunto de datos que tengamos.

Al proponer un modelo generativo, se busca representar y de forma concisa poder parametrizar un fenómeno o situación de la que se obtuvieron los datos. Cuando los datos son secuenciales, se suelen agrupar en dos tipos, de acuerdo a las características de la distribución que los generó: distribuciones estacionarias y distribuciones no estacionarias.

En el caso de secuencias de datos estacionarias, se considera que los datos *evolucionan* a través del tiempo, pero la distribución a partir de la cuál fueron generados permanece igual; mientras que para el caso de datos no estacionarios, su distribución generativa varía también según pasa el tiempo.

Para el problema de *speaker diarisation*, consideraremos que los datos son estacionarios; es decir, supondremos que su distribución generativa no cambia. Para resolver nuestro problema entonces trataremos a partir de los datos ajustar una distribución inicial e inferir sus parámetros correspondientes.

Este tipo de abstracción, permiten modelar una gran cantidad de situaciones, en las que se tienen observaciones de acuerdo al



**Figura 3.1:** Observaciones independientes e idénticamente distribuidas.

tiempo y se quiere predecir el siguiente valor en la serie, dadas la observaciones que se tienen hasta el momento.

Comúnmente se suelen considerar únicamente las observaciones más recientes, pues son las que pudiéramos pensar son más informativas para la predicción; además de que al asumir que las predicciones de nuevos datos sólo dependen de las últimas observaciones, nos permite simplificar mucho el modelo de la distribución generativa.

Para trabajar con este tipo de datos, se puede usar entonces un modelo de Márkov que es un proceso aleatorio muy trabajado en la teoría de probabilidad, que incorpora una cantidad mínima de memoria, sin necesariamente llegar a ser un proceso sin memoria.

Se puede pensar como una red bayesiana en la que se asume la independencia de las variables aleatorias que corresponden a las predicciones futuras con todas las observaciones excepto las últimas (i.e. el futuro es independiente del pasado, dado el presente).

### 3.1 CADENA DE MARKOV

El modelo generativo más sencillo que se podría pensar, es considerar que todas las observaciones son variables aleatorias independientes e idénticas distribuidas (v.a. i.i.d) cuyo modelo gráfico se muestra en la [Figura 3.1](#).

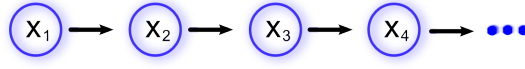
*Se entiende por v.a. i.i.d aquellas que son independientes entre sí y que fueron muestreadas de la misma distribución*

Al asumir que no hay ninguna dependencia entre los datos, sin embargo, se pierde la información relativa al orden en que se fueron dando estas observaciones; situación que en muchos casos nos interesa conservar.

Si se tiene un conjunto  $N$  de observaciones  $\mathbf{X} = \{x_1, \dots, x_N\}$ , y se asume que son i.i.d, la distribución conjunta de la secuencia de datos se puede escribir como sigue:

$$p(x_1, \dots, x_N) = \prod_{n=1}^N p(x_n) \quad (3.1)$$

En cambio, para expresar la dependencia entre un grupo de observaciones secuenciales, se puede utilizar un modelo probabilísti-



**Figura 3.2:** Modelo de Márkov de primer orden.

co llamado *modelo o cadena de Márkov*. Si por ejemplo, se considera que cada variable depende de todas las observaciones anteriores, entonces usando el teorema de Bayes se puede escribir la distribución conjunta de las observaciones de la siguiente manera:

*Del teorema de Bayes se tiene la siguiente expresión*

$$p(x_1, \dots, x_N) = \prod_{n=1}^N p(x_n | x_1, \dots, x_{n-1}). \quad (3.2)$$

$$P(A|B) = \frac{P(B|A)P(A)}{P(B)}$$

Ahora, si se asume que cada  $x_n$  es independiente de las observaciones anteriores excepto de la observación anterior  $x_{n-1}$ , se tiene que la distribución conjunta se puede escribir de forma más sencilla utilizando el teorema de separación D<sup>1</sup>, puesto que

$$p(x_n | x_1, \dots, x_{n-1}) = p(x_n | x_{n-1}) \quad (3.3)$$

A este modelo probabilístico se le conoce como cadena de Márkov de primer orden y la probabilidad conjunta de las observaciones está dada por:

$$p(x_1, \dots, x_N) = p(x_1) \prod_{n=2}^N p(x_n | x_{n-1}). \quad (3.4)$$

mientras que su modelo gráfico corresponde a la [Figura 3.2](#)

Aunque el modelo es mucho más general, puede que se necesite representar de forma más fuerte la dependencia con las observaciones anteriores, por lo que se pueden usar cadenas de Márkov de órdenes superiores.

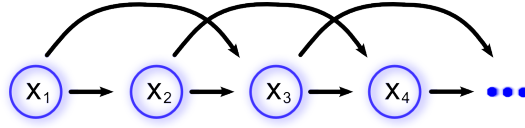
Al caso en el que  $x_n$  dependa de las dos observaciones previas se le conoce como cadena de Márkov de segundo orden; y siguiendo el mismo proceso, la distribución conjunta de las observaciones se puede escribir como

$$p(x_1, \dots, x_N) = p(x_1) \cdot p(x_2 | x_1) \prod_{n=3}^N p(x_n | x_{n-1}, x_{n-2}) \quad (3.5)$$

puesto que se tiene que  $x_n \perp x_1, \dots, x_{n-3} | x_{n-1}, x_{n-2}$ .

En este caso su modelo gráfico correspondiente es la [Figura 3.3](#), en el que se puede observar la dependencia de una  $x_n$  en específico únicamente con sus dos observaciones anteriores.

<sup>1</sup> Ver anexo



**Figura 3.3:** Modelo de Márkov de segundo orden.

Se puede generalizar entonces para cualquier  $M$  un modelo de Márkov de  $M$ -ésimo orden, aunque al considerar demasiados estados previos se puede complicar de más el modelo; pues el número de parámetros implicados aumenta de forma exponencial al orden del modelo de Márkov.

Para evitar que el modelo se vuelva demasiado complejo, así como para no hacer alguna suposición a priori sobre cuál es el orden es del modelo generativo, se puede introducir una variable oculta, que permita cambiar el planteamiento del modelo.

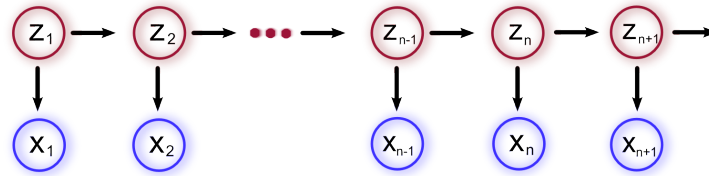
Se considera entonces una variable latente  $z_n$  correspondiente a cada observación  $x_n$ , y entonces el conjunto de variables latentes forman una cadena de Márkov, como se muestra en la [Figura 3.4](#).

Se asumirá entonces

$$z_{n+1} \perp z_{n-1} | z_n \quad (3.6)$$

Y entonces, usando la regla de la cadena, la distribución conjunta para este modelo es la siguiente:

$$p(x_1, \dots, x_N, z_1, \dots, z_N) = p(z_1) \left[ \prod_{n=2}^N p(z_n | z_{n-1}) \right] \prod_{n=1}^N p(x_n | z_n). \quad (3.7)$$



**Figura 3.4:** Modelo oculto de Márkov.

Para éste último modelo gráfico, si las variables latentes son discretas, entonces se le conoce como Modelo Oculto de Márkov ([HMM](#)), y es justo el modelo que se utilizará para resolver la tarea de *speaker diarisation*.



### 3.2 CADENA OCULTA DE MÁRKOV

Un Modelo Oculto de Márkov , sigue siendo entonces un modelo para datos secuenciales, en los que además se introduce el concepto de una variable oculta de la cual dependen las observaciones que se tienen; y de forma más específica, esta variable oculta es discreta.

Usando un [HMM](#) entonces podemos modelar un proceso bivariado discreto en el tiempo, con ciertas propiedades interesantes que se mencionarán más adelante.

Nuestro modelo [HMM](#), se puede pensar como una mezcla de distribuciones en la que la densidad tiene una distribución dada por  $p(x|z)$ , es decir, la mezcla de los componentes está dada por las observaciones previas.

Se puede considerar entonces, que cada variable latente  $z_n$  tendrá una distribución multinomial discreta, que indicará cuál componente de la mezcla de distribuciones es la que ha generado la observación  $x_n$ . Para esto, se usará la notación 1-de- $K$ , que corresponde a un conjunto de variables indicador  $z_{nk} \in \{0, 1\}$ , donde  $k = 1, \dots, K$  señalando cuál de las  $K$  distribuciones generó a la variable  $x_n$ , i.e., si el componente generador de  $x_n$  fue la  $k$ -ésima mezcla, entonces  $z_{nk} = 1$  y  $z_{nj} = 0$  para todo  $j \neq k$ .

Ahora, se tiene que cada variable  $z_n$  depende únicamente de  $z_{n-1}$ , y puesto que las variables latente son vectores binarios de  $K$  dimensiones, entonces se tendría que la probabilidad condicional de  $z_n | z_{n-1}$  se puede representar mediante una tabla o matriz, que se denotará como  $\mathbf{A}$ , y será referida como *matriz de probabilidades de transición*.

Los componentes de la matriz de transición se definen tal que  $A_{jk} \equiv p(z_{nk} = 1 | z_{n-1,j} = 1)$ , y puesto que son probabilidades, se cumple que  $0 \leq A_{jk} \leq 1$  además de que  $\sum_k A_{jk} = 1$ . Considerando estas restricciones, entonces la matriz  $\mathbf{A}$  tiene  $K(K-1)$  parámetros independientes.

Se puede escribir entonces la probabilidad condicional de una variable latente  $z_n$  dada la anterior variable latente  $z_{n-1}$  de la siguiente forma:

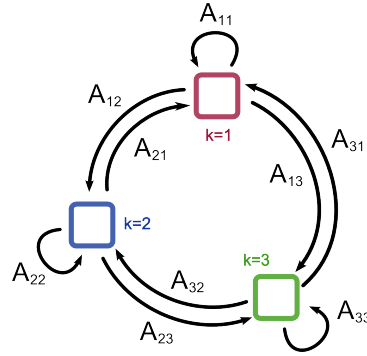
$$p(z_n | z_{n-1}, \mathbf{A}) = \prod_{k=1}^K \prod_{j=1}^K A_{jk}^{z_{n-1,j} \cdot z_{nk}} \quad (3.8)$$

Además, se tiene que considerar la variable latente inicial  $z_1$ , puesto que ésta no tiene una variable latente anterior, la [Ecuación 3.7](#) no aplica; por lo que entonces la probabilidad marginal de  $z_1$  está representada por un vector de probabilidades  $\pi$  tal que  $\pi_k \equiv p(z_{1k})$ , por lo que se puede reescribir como sigue:

$$p(z_1 | \pi) = \prod_{k=1}^K \pi_k^{z_{1k}} \quad (3.9)$$

y además se cumple que  $\sum_k \pi_k = 1$  por definición.

La matriz de transición también se puede llegar a representar como un grafo dirigido, si se consideran las entradas de la matriz  $\mathbf{A}$  como los pesos de las aristas, y los nodos son cada uno de los posibles  $K$  estados. Por ejemplo, para el caso de una variable latente de  $K = 3$  estados, se tendría el grafo de la [Figura 3.5](#).

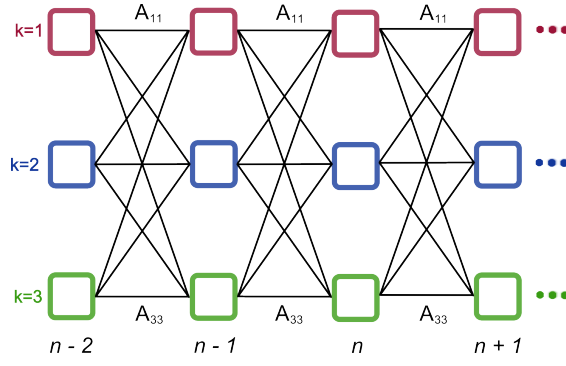


**Figura 3.5:** Matriz de transición de modelo oculto de Márkov (grafo).

De la misma manera, el grafo correspondiente a la matriz de transición, se puede representar como una rejilla a través del tiempo, en la que se mantienen los vértices y aristas del grafo, pero además se introduce la noción del tiempo. Como se observa en la [Figura 3.6](#)

Por último, para completar el modelo se tiene que considerar además la distribución condicional de las variables observadas, es decir  $p(x_n | z_n, \phi)$  donde  $\phi$  es un conjunto de parámetros específicos a la distribución de  $x$ . Se les conoce como probabilidades de emisión, y puede ser tanto una distribución discreta como una continua. Para el caso en que la probabilidad de emisión esté dada por una distribución discreta, entonces se tendrá una tabla de probabilidades.

Para calcular entonces esta probabilidad de emisión, se tiene tanto  $z_n$  como unos parámetros  $\phi$  dados, por lo que entonces



**Figura 3.6:** Matriz de transición de modelo oculto de Márkov (rejilla).

se tienen un vector de  $K$  valores para cada uno de los posibles estados del vector indicador  $z_n$ .

Se puede escribir entonces la probabilidad de emisión como sigue:

$$p(x_n | z_n, \phi) = \prod_{k=1}^K p(x_n | \phi_k)^{z_{nk}} \quad (3.10)$$

y entonces la probabilidad conjunta quedaría definida de la siguiente manera:

$$p(\mathbf{X}, \mathbf{Z} | \theta) = p(z_1 | \pi) \left[ \prod_{n=2}^N p(z_n | z_{n-1}, \mathbf{A}) \right] \prod_{n=1}^N p(x_n | z_n, \phi) \quad (3.11)$$

donde  $\mathbf{X} = \{x_1, \dots, x_N\}$ ,  $\mathbf{Z} = \{z_1, \dots, z_N\}$  y  $\theta = \{\pi, \mathbf{A}, \phi\}$  es el conjunto de parámetros requeridos por el modelo.

La intuición del modelo oculto de Márkov se puede entender más fácilmente si se revisa desde el punto de vista generativo. Primero, se muestrea la variable latente inicial  $z_1$ , de acuerdo a las probabilidades  $\pi_k$ , así como su correspondiente  $x_1$ . Luego, se debe escoger un  $z_2$ . Para esto, si se supone que  $z_1$  es igual a algún estado  $j$ , entonces usando la matriz de transición se muestrea  $z_2$  con probabilidades  $A_{jk}$  para  $k = 1, \dots, K$ , y de igual manera, su correspondiente variable observada  $x_2$ . Éste mismo proceso es el que se sigue para cada iteración en el tiempo, hasta que se forma completamente el modelo oculto de Márkov y se le conoce como *muestreo ancestral* y se suele usar para modelos con grafos dirigidos.

Si la matriz de transición es predominantemente diagonal, entonces en la secuencia de datos puede que un mismo estado  $i$  sea el que genere muchos puntos  $x_n$ , pues con poca probabilidad cambiará de un estado  $i$  a  $j$ . Este fenómeno es justo el que se espera

para el caso de *speaker diarisation*, pues usualmente una persona  $p_i$  hablará durante mucho tiempo, y luego cuando otra persona  $p_j$  toma la palabra, sucederá lo mismo.

### 3.3 ESTIMACIÓN DE MÁXIMA VEROSIMILITUD DEL HMM

La tarea de aprendizaje de parámetros del HMM es encontrar, dada una secuencia de datos observados, el mejor conjunto de probabilidades de transición y emisión.

Hasta el momento no se conoce algún algoritmo para resolver esta problema de forma exacta, pero sí hay métodos para estimar la máxima verosimilitud del modelo de forma local usando el algoritmo de Baum–Welch, que se explicará con más detalle a continuación.

#### 3.3.1 Estimación de parámetros del HMM

Si se tiene un conjunto de datos observados  $\mathbf{X} = \{x_1, \dots, x_N\}$ , se pueden determinar los parámetros del HMM usando máxima verosimilitud. La función de verosimilitud se obtiene de la distribución conjunta (3.11) al marginalizar las variables latentes.

$$p(\mathbf{X}, \theta) = \sum_{\mathbf{Z}} p(\mathbf{X}, \mathbf{Z} | \theta) \quad (3.12)$$

Sin embargo, la función obtenida presenta algunas dificultades, pues no se puede tratar  $z_n$  como si fueran variables independientes y separarlas, puesto que cada variable latente  $z_n$  depende del estado anterior. Además, no es factible separar las sumas de estas  $N$  variables, pues para cada una se tendría que considerar cada uno de sus  $K$  posibles estados, y entonces el número de términos en la suma es del orden  $K^N$ , y crece exponencialmente con el largo de la cadena. Por esto y algunas otras razones, es que se descarta el estimar los parámetros del modelo de forma directa por máxima verosimilitud.

Por esto, se usará el algoritmo de Expectation-Maximization (EM) para maximizar la verosimilitud. Inicialmente, se hace una selección inicial de los parámetros que denotaremos como  $\theta^{\text{old}}$ . Luego, en el primer paso del *expectation-maximization*-conocido como *E-step*- se toman estos parámetros para encontrar la probabilidad a posteriori de las variables latentes  $p(\mathbf{Z} | \mathbf{X}, \theta^{\text{old}})$ , las cuales se usarán para evaluar la esperanza de la log-verosimilitud com-

pleta; que se puede escribir como una función tanto de la primera estimación de  $\theta^{\text{old}}$  así como de los nuevos parámetros  $\theta$ .

La función de verosimilitud completa se define entonces como sigue:

$$\mathcal{Q}(\theta, \theta^{\text{old}}) = \sum_{\mathbf{Z}} p(\mathbf{Z} | \mathbf{X}, \theta^{\text{old}}) \ln p(\mathbf{X}, \mathbf{Z} | \theta). \quad (3.13)$$

Se introduce además cierta notación para simplificar las expresiones que ahora se usarán. Se usará  $\gamma(z_n)$  para denotar la distribución marginal posterior de la variable latente  $z_n$ , y  $\xi(z_{n-1}, z_n)$  para denotar la distribución conjunta posterior de dos variables latentes sucesivas, es decir:

$$\gamma(z_n) = p(z_n | \mathbf{X}, \theta^{\text{old}}) \quad (3.14)$$

$$\xi(z_{n-1}, z_n) = p(z_{n-1}, z_n | \mathbf{X}, \theta^{\text{old}}) \quad (3.15)$$

Considerando entonces que  $z_n$  es un vector binario, entonces se puede extender esta notación para cada uno de los componentes de la variable latente  $z_n$ , es decir, para denotar la probabilidad condicional  $z_{nk} = 1$ . Se tomará entonces la esperanza de tanto  $\gamma(z_{nk})$  como  $\xi(z_{n-1,j}, z_{nk})$  y entonces

$$\gamma(z_{nk}) = \mathbb{E}[z_{nk}] = \sum_{\mathbf{Z}} \gamma(\mathbf{Z}) z_{nk} \quad (3.16)$$

$$\xi(z_{n-1,j}, z_{nk}) = \mathbb{E}[z_{n-1,j} \cdot z_{nk}] = \sum_{\mathbf{Z}} \gamma(\mathbf{Z}) z_{n-1,j} \cdot z_{nk} \quad (3.17)$$

Si se sustituye  $p(\mathbf{X}, \mathbf{Z} | \theta)$  de (3.11) en (3.13), así como usando las definiciones (3.16) y (3.17), y luego desarrollando el logaritmo, se obtiene:

$$\begin{aligned} \mathcal{Q}(\theta, \theta^{\text{old}}) = & \sum_{k=1}^K \gamma(z_{1k}) \ln \pi_k + \sum_{n=2}^N \sum_{j=1}^K \sum_{k=1}^K \xi(z_{n-1,j}, z_{nk}) \ln A_{jk} + \\ & \sum_{n=1}^N \sum_{k=1}^K \gamma(z_{nk}) \ln p(x_n | \phi_k) \end{aligned} \quad (3.18)$$

Por lo que entonces en el *E-step* se debe evaluar tanto  $\gamma(z_{nk})$  como  $\xi(z_{n-1,j}, z_{nk})$  de forma eficiente para luego continuar con la segunda etapa del algoritmo.

El segundo paso, también conocido como *M-step*, consiste en maximizar la unción  $Q(\theta, \theta^{\text{old}})$  con respecto a cada uno de los parámetros  $\theta = \{\pi, \mathbf{A}, \phi\}$  mientras que ahora  $\gamma(z_{nk})$  y  $\xi(z_{n-1,j}, z_{nk})$  se tratan como constantes.

Para maximizar entonces  $\pi$ , se deriva  $Q(\theta, \theta^{\text{old}})$  con respecto a  $\pi_k$ , usando multiplicadores de Lagrange para la restricción de  $\sum_k \pi_k = 1$ , por lo que entonces se tiene:

$$\frac{\partial Q(\theta, \theta^{\text{old}})}{\partial \pi_k} = \frac{\partial}{\partial \pi_k} \left[ \sum_{k=1}^K \gamma(z_{1k}) \ln \pi_k + \lambda \left( \sum_{k=1}^K \pi_k - 1 \right) \right]$$

y derivando y encontrando el valor de  $\lambda$ , para luego despejar  $\pi_k$ , se obtiene:

$$\pi_k = \frac{\gamma(z_{1k})}{\sum_{j=1}^K \gamma(z_{1j})} \quad (3.19)$$

mientras que para maximizar  $\mathbf{A}$ , se deriva entonces  $Q(\theta, \theta^{\text{old}})$  con respecto a  $A_{jk}$ , considerando también las restricciones, es decir

$$\frac{\partial Q(\theta, \theta^{\text{old}})}{\partial \pi_k} = \frac{\partial}{\partial \pi_k} \left[ \sum_{n=2}^N \sum_{j=1}^K \sum_{k=1}^K \xi(z_{n-1,j}, z_{nk}) \ln A_{jk} + \lambda \left( \sum_{k=1}^K A_{jk} - 1 \right) \right]$$

y de la misma manera, resolviendo para  $A_{jk}$  se obtiene

$$A_{jk} = \sum_{n=2}^N \frac{\xi(z_{n-1,j}, z_{nk})}{\sum_{l=1}^K \xi(z_{n-1,j}, z_{nl})} \quad (3.20)$$

Entonces, el algoritmo [EM](#), debe ser inicializado escogiendo algunos valores para  $\pi$  y  $\mathbf{A}$ , considerando las restricciones que implican cada uno, pues representan ciertas probabilidades. Por tanto, se puede inicializar tanto  $\pi$  como  $\mathbf{A}$  con valores aleatorios, siempre y cuando cumplan con las restricciones propias de una probabilidad.

Por último, para estimar el parámetro  $\theta$ , que en realidad corresponde a estimar los parámetros propios de la distribución de emisión, éstos dependen de la distribución propia de las variables observadas, aunque basta 1 observar que en (3.18) únicamente en el último término aparece  $\theta$  en forma de una suma ponderada de  $\ln p(x_n | \phi_k)$ ; y en el caso de que los parámetros  $\phi_k$  sean independientes para los diferentes componentes de la mezcla o suma ponderada, entonces maximizar con respecto a esos parámetros se puede realizar de forma sencilla.

### 3.3.2 Algoritmo backward-forward

Se presenta ahora un algoritmo que nos permite estimar de forma eficiente tanto  $\gamma(z_{nk})$  como  $\xi(z_{n-1,j}, z_{nk})$  que se requieren para el *E-step* del algoritmo de [EM](#).

Para deducir el algoritmo, primero se deben tener en cuenta varias propiedades de una cadena de Márkov, que nos permitirán simplificar varios cálculos (Ver apéndice). Además, se debe tener en cuenta que éste desarrollo es general, puesto que es independiente de las probabilidades de emisión  $p(x|z)$ , y entonces no importa si las variables observadas son discretas o continuas, pues lo único que se requiere es poder evaluar  $p(x_n | z_n)$  para cada  $z_n$ , que sabemos que son discretas.

Se puede comenzar por evaluar  $\gamma(z_n)$ , que es la probabilidad a posteriori  $p(z_n | x_1, \dots, x_N)$  de  $z_n$  dado un conjunto de datos  $x_1, \dots, x_N$ . Entonces, usando el teorema de Bayes se tiene que

$$\gamma(z_n) = p(z_n | \mathbf{X}) = \frac{p(\mathbf{X} | z_n) p(z_n)}{p(\mathbf{X})} \quad (3.21)$$

y usando la regla del producto, tenemos que

$$\gamma(z_n) = \frac{p(x_1, \dots, x_n, z_n) p(x_{n+1}, \dots, x_N | z_n)}{p(\mathbf{X})} = \frac{\alpha(z_n) \beta(z_n)}{p(\mathbf{X})} \quad (3.22)$$

donde usamos la siguiente notación:

$$\alpha(z_n) \equiv p(x_1, \dots, x_n, z_n) \quad (3.23)$$

$$\beta(z_n) \equiv p(x_{n+1}, \dots, x_N | z_n) \quad (3.24)$$

Se puede pensar  $\alpha(z_n)$  como la probabilidad conjunta de observar toda una secuencia de datos hasta el momento  $n$ , además de el valor de la variable  $z_n$ ; mientras que  $\beta(z_n)$  es la probabilidad condicional para una secuencia de datos desde un momento  $n$  hasta  $N$ , dado que se conoce  $z_n$ .

Primero, desarrollamos (3.23) como sigue:

$$\begin{aligned} \alpha(z_n) &= p(x_1, \dots, x_n, z_n) \\ \alpha(z_n) &= p(x_1, \dots, x_n | z_n) p(z_n) \\ \alpha(z_n) &= p(x_1, \dots, x_{n-1} | z_n) p(x_n | z_n) p(z_n) \\ \alpha(z_n) &= p(x_1, \dots, x_{n-1}, z_n) p(x_n | z_n) \end{aligned}$$

donde se factorizo  $p(z_n)$  y luego  $p(x_n | z_n)$  del resto, puesto que  $x_n \perp x_1, \dots, x_{n-1} | z_n$ ; para luego volver a juntar  $p(z_n)$  usando el Teorema de Bayes.

Luego, marginalizando sobre  $z_{n-1}$ , podemos escribir

$$\begin{aligned}
 \alpha(z_n) &= p(x_n | z_n) \sum_{z_{n-1}} p(x_1, \dots, x_{n-1}, z_{n-1}, z_n) \\
 \alpha(z_n) &= p(x_n | z_n) \sum_{z_{n-1}} p(x_1, \dots, x_{n-1}, z_n | z_{n-1}) p(z_{n-1}) \\
 \alpha(z_n) &= p(x_n | z_n) \sum_{z_{n-1}} p(x_1, \dots, x_{n-1} | z_{n-1}) p(z_n | z_{n-1}) p(z_{n-1}) \\
 \alpha(z_n) &= p(x_n | z_n) \sum_{z_{n-1}} p(x_1, \dots, x_{n-1}, z_{n-1}) p(z_n | z_{n-1})
 \end{aligned} \tag{3.25}$$

y usando que  $z_{n-1} \perp x_1, \dots, x_{n-1} | z_n$ , podemos seguir el mismo procedimiento para llegar a (3.25); y por último, podemos usar la definición de (3.23) para el primer factor de la suma, llegando a que

$$\alpha(z_n) = p(x_n | z_n) \sum_{z_{n-1}} \alpha(z_{n-1}) p(z_n | z_{n-1}) \tag{3.26}$$

Con lo que se obtiene una forma recursiva para calcular  $\alpha(z_n)$  a partir de  $\alpha(z_{n-1})$  para cualquier  $n$ , excepto para  $n = 1$ ; pues no se tiene definido un  $z_0$ . Por esto mismo, podemos definir el caso inicial  $\alpha(z_1)$  usando (3.23) y entonces resultaría:

$$\alpha(z_1) = p(x_1, z_1) = p(z_1) p(x_1 | z_1) \tag{3.27}$$

De la misma manera, para el caso de  $\beta(z_n)$  desarrollando a partir de (3.24)

$$\begin{aligned}
 \beta(z_n) &= p(x_{n+1}, \dots, x_N | z_n) \\
 \beta(z_n) &= \sum_{z_{n+1}} p(x_{n+1}, \dots, x_N, z_{n+1} | z_n) \\
 \beta(z_n) &= \sum_{z_{n+1}} p(x_{n+1}, \dots, x_N | z_n, z_{n+1}) p(z_{n+1} | z_n) \\
 \beta(z_n) &= \sum_{z_{n+1}} p(x_{n+1}, \dots, x_N | z_{n+1}) p(z_{n+1} | z_n)
 \end{aligned}$$

donde primero agregamos la variable  $z_{n+1}$  y marginalizamos con respecto a ella, para luego factorizar  $p(z_{n+1} | z_n)$ . Después, considerando que  $x_{n+1}, \dots, x_N \perp z_n | z_{n+1}$ , podemos simplificar la expresión.

A partir de ahí, podemos factorizar  $p(x_{n+1} | z_{n+1})$  con lo que llegamos a

$$\beta(z_n) = \sum_{z_{n+1}} p(x_{n+2}, \dots, x_N | z_{n+1}) p(x_{n+1} | z_{n+1}) p(z_{n+1} | z_n)$$



(3.28)

donde usando (3.24) obtenemos de nuevo una forma recursiva para  $\beta(z_n)$

$$\beta(z_n) = \sum_{z_{n+1}} \beta(z_{n+1}) p(x_{n+1} | z_{n+1}) p(z_{n+1} | z_n) \quad (3.29)$$

que en este caso dependería del valor de  $\beta(z_{n+1})$  y aplicaría para cualquier  $n$ , excepto cuando  $n = N$ .

Para este caso, igual partiríamos de la definición en (3.22)

$$p(z_n | \mathbf{X}) = \frac{\mathbf{p}(\mathbf{X}, \mathbf{z}_N)_c(\mathbf{z}_N)}{\mathbf{p}(\mathbf{X})} \quad (3.30)$$

de donde se obtiene que

$$\beta(z_N) = 1 \quad (3.31)$$

#### 3.3.2.1 Factor de escala

Para la implementación, se tiene que considerar un problema común del algoritmo de backward-forward: como ya se mencionó, en el proceso recursivo para calcular cada  $\alpha(z_n)$  se utilizan los previamente calculados  $\alpha(z_{n-1})$ , además de unas multiplicaciones por un par de probabilidades. Puesto que cada probabilidad es por definición menor o igual a 1, y que esta operación se realiza iterativamente para cada estado  $n$ , se tiene entonces que los valores de  $\alpha(z_n)$  decrecerán rápidamente, y llegará un momento en el que no se puedan representar en una computadora (por los límites tanto de la notación punto flotante como del doble punto flotante).

Comúnmente, cuando se tienen problemas de precisión, se suele tomar el logaritmo, y así se amplía el rango, evitando posibles desbordamientos. Sin embargo, para el caso presentado, no es posible realizar esto, pues tanto para  $\alpha(z_n)$  como  $\beta(z_n)$  se manejan sumas de números pequeños, y entonces no tiene sentido usar el logaritmo; pues el logaritmo no se aplicaría directamente sobre esos valores que pudieran ser pequeños; sino sobre la suma de ellos.

Se propone entonces manejar las probabilidades de forma reescalada. Originalmente,  $\alpha(z_n)$  representa la probabilidad conjunta de todas las variables observadas  $x_1, \dots, x_n$  junto con la variable

latente  $z_n$ . Se usará entonces  $\hat{\alpha}(z_n)$  como la probabilidad condicional de la variable latente  $z_n$  dadas todas las observaciones antes mencionadas. Es decir:

$$\hat{\alpha}(z_n) = p(z_n | x_1, \dots, x_n) = \frac{\alpha(z_n)}{p(x_1, \dots, x_n)} \quad (3.32)$$

El orden entre las cantidades se mantendrá, puesto que se dividirá entre la probabilidad conjunta de las variables observadas  $p(x_1, \dots, x_n)$ .

Como en algún momento nos será útil regresar del espacio escalado al espacio original de las variables, es importante calcular estos factores de escala para cada una de las  $\hat{\alpha}(z_n)$ .

$$c_n = p(x_n | x_1, \dots, x_{n-1}) \quad (3.33)$$

y entonces podemos calcular el factor de escalamiento usando la regla del producto

$$p(x_1, \dots, x_n) = \prod_i^n c_i \quad (3.34)$$

y entonces, para obtener  $\alpha(z_n)$  a partir de  $\hat{\alpha}(z_n)$  se procede de la siguiente manera:

$$\begin{aligned} \alpha(z_n) &= p(x_1, \dots, x_n, z_n) = p(x_1, \dots, x_n) p(z_n | x_1, \dots, x_n) \\ &= \left( \prod_i^n c_i \right) \hat{\alpha}(z_n) \end{aligned} \quad (3.35)$$

De la misma manera, la forma recursiva que se había obtenido en (3.26) se puede reescribir de la siguiente manera:

$$c_n \alpha(z_n) = p(x_n | z_n) \sum_{z_{n-1}} \hat{\alpha}(z_{n-1}) p(z_n | z_{n-1}) \quad (3.36)$$

por lo que ahora, a cada paso de la recursión al calcular  $\hat{\alpha}(z_{n-1})$ , se debe calcular también  $c_n$  e ir almacenando los coeficientes que normalizan a  $\alpha(z_n)$ .

Ahora, para re-escalar  $\beta(z_n)$  usando los coeficientes  $c_n$  se tendría que

$$\beta(z_n) = \left( \prod_i^n c_i \right) \hat{\beta}(z_n) \quad (3.37)$$

donde

$$\hat{\beta}(z_n) = \frac{p(x_{n+1}, \dots, x_N | z_n)}{p(x_{n+1}, \dots, x_N | x_1, \dots, x_n)} \quad (3.38)$$

y por lo tanto tampoco presentaría problemas numéricos el cálculo de  $\hat{\beta}z_n$ , puesto que vuelve a ser un cociente de probabilidades. En este caso, de la condicional de las variables observadas desde  $x_{n+1}, \dots, x_N$  dada la variable latente  $z_n$  sobre la probabilidad condicional de las mismas variables observadas dadas todas las variables anteriores a  $x_{n+1}$ .

Entonces, para calcular recursivamente los valores de  $\hat{\beta}(z_n)$ , se deriva que

$$c_{n+1}\hat{\beta}(z_n) = \sum_{z_{n+1}} \hat{\beta}(z_{n+1})p(x_{n+1} | z_{n+1})p(z_{n+1} | z_n) \quad (3.39)$$

donde usamos los coeficientes de re-escalamiento que ya habíamos calculado (y almacenado) junto con los valores de  $\hat{\alpha}(z_n)$ .

Con las nuevas variables normalizadas, ya se pueden realizar todos los cálculos necesarios.

Por ejemplo, para calcular la verosimilitud del modelo, usando (3.34) se tiene que

$$p(\mathbf{X}) = \prod_i^N c_i \quad (3.40)$$

Así como para el algoritmo de backward-forward, se pueden reescribir tanto (??) como (??) usando las nuevas variables

$$\gamma(z_n) = \hat{\alpha}(z_n)\hat{\beta}(z_n) \quad (3.41)$$

$$\xi(z_{n-1}, z_n) = c_n \hat{\alpha}(z_{n-1})p(x_n | z_n)p(z_n | z_{n-1})\hat{\beta}(z_n) \quad (3.42)$$

“Data! Data! Data!” he cried  
impatiently. “I can’t make bricks  
without clay.”

Sherlock Holmes

# 4

## SELECCIÓN DE MODELO

---

Hasta ahora, se tiene la metodología completa para estimar los parámetros del un modelo HMM propuesto; es decir, se considera que se sabe a priori el número de interlocutores que participan en la grabación. A partir de ello, se estimarán los parámetros correspondientes del modelo, además de obtener la segmentación más probable para los datos.

Para la estimación de los parámetros usando EM, se proponen de forma aleatoria las probabilidades iniciales así como las matrices de transición y emisión correspondientes. Como condiciones de paro del método se establece un número fijo de iteraciones que depende del número de la longitud de la secuencia observada, además de usar una tolerancia mínima para la diferencia entre la log-verosimilitud de dos iteraciones contiguas.

Con esto, se obtiene la estimación de parámetros de el modelo así como su verosimilitud, partiendo de una inicialización aleatoria.

Puesto que el problema abarca también el detectar cuántos personas están involucrados en la grabación, se propondrán modelos para diferentes números de interlocutores, y a partir de una función de costo se escogerá al que mejor tenga una mejor evaluación.

Para esto, se necesitan tener presentes varios conceptos:

## 4.1 BOOTSTRAP PARAMÉTRICO

## 4.2 FUNCIONES DE PENALIZACIÓN

## 4.2.1 BIC

## 4.2.2 Otras

## 4.3 SELECCIÓN DE MODELO USANDO BOOTSTRAP CON LIKELIHOOD RATIO TESTING

Para realizar esto, primero se usará la técnica conocida como bootstrap paramétrico para comparar el modelo correspondiente de  $d$  estados contra el de  $d + 1$  estados ocultos.

La prueba que se realiza es comparando la máxima verosimilitud estimada (MLE)  $\hat{\theta}^{(d)}$  y  $\hat{\theta}^{(d+1)}$  de los modelos de  $d$  y  $d + 1$  estados respectivamente. Para la comparación se usa la estadística *log likelihood ratio* que corresponde a la diferencia de las log-verosimilitudes mencionadas

$$LR_{obs}^{(d)} = \log \frac{L(\hat{\theta}^{(d+1)}; y_{1:n})}{L(\hat{\theta}^{(d)}; y_{1:n})} = \log L(\hat{\theta}^{(d+1)}; y_{1:n}) - \log L(\hat{\theta}^{(d)}; y_{1:n}) \quad (4.1)$$

Para calcular la MLE de un modelo, se estimó la verosimilitud varias veces con diferentes parámetros iniciales aleatorios. Se iteró el algoritmo EM hasta convergencia, un número  $iter_{hmm}$  fijo de iteraciones, esto para evitar el estancamiento del algoritmo en un máximo local, y obtener así una buena estimación de la máxima verosimilitud del modelo.

Se usó entonces como MLE del modelo la máxima verosimilitud correspondiente a los mejores parámetros estimados y que se denotó por  $LLR_{obs}$ .

Ahora, para hacer la prueba con bootstrap, simularemos

**Algoritmo 2** Muestreo ancestral para un HMM**Input:**

núm. de estados  $N$ , núm. de muestras en el tiempo  $T$

núm. de posibles valores en el diccionario  $K$ ,

$\pi \in \mathcal{R}^N$ ;  $\pi_j = p(z_{1j})$

$\mathbf{A} \in \mathcal{R}^{N \times N}$ ;  $\mathbf{A}_{jk} = p(z_{nk} | z_{n-1,j})$

$\mathbf{E} \in \mathcal{R}^{K \times N}$ ;  $\mathbf{E}_{jk} = p(x_{nk} | z_{n,j})$

$z_1 \sim \text{Multinomial}(\pi)$

$x_1 \sim \text{Multinomial}(\mathbf{E}_{[z_1, :]})$

**for**  $i = 1 \rightarrow T$  **do**

$z_t \sim \text{Multinomial}(\mathbf{A}_{[z_{t-1}, :]})$

$x_t \sim \text{Multinomial}(\mathbf{E}_{[z_t, :]})$

**end for**

## 4.4 SELECCIÓN DE MODELO USANDO BIC

Otra manera de realizar la selección del modelo que mejor se adecua a los datos que se observan, es usar una métrica específica para la selección de modelos.

Entre las más comunes, se encuentran por ejemplo AIC o BIC, que se encargan de selección de modelo a partir de la estimación de máxima verosimilitud de los datos, así como también penalizan el número de parámetros libres que necesita el modelo.

Puesto que consideramos que dentro de nuestro espacio de modelos propuestos se encuentra el modelo solución (esto es, hay un modelo que corresponde con el número de interlocutores que participan en la grabación), resulta más natural usar BIC o Bayesian Information Criterion.

Este criterio se calcula de la siguiente manera:

$$\text{BIC}(M) = 2\log - \text{likelihood}_{\text{max}}(M) - (\log n)\text{dim}(M) \quad (4.2)$$

para cada propuesta de modelo  $M$ , donde  $\text{dim}(M)$  es el número estimado de parámetros libres que le corresponden, y  $n$  es el tamaño de nuestra muestra de datos.

Para estimar el número de parámetros libres de nuestro modelo, se consideran todas las probabilidades que rigen al HMM, que en este caso son: la matriz a priori o inicial, la matriz de transiciones entre los interlocutores, así como la matriz de emisión de cada persona para todo el diccionario de palabras.

Esta selección se enfoca en escoger el candidato modelo con la mayor probabilidad dados los datos, pero penalizando la complejidad de cada propuesta. Se preferirán entonces los modelos con una mayor verosimilitud que involucren la menor cantidad de parámetros posibles.

...

## Parte III

### MARCO EXPERIMENTAL



“Data! Data! Data!” he cried  
impatiently. “I can’t make bricks  
without clay.”

Sherlock Holmes

## METODOLOGÍA

---

### 5.1 ESQUEMA GENERAL

Agregar esquema de la metodología que se siguió.

### 5.2 RESOLVER MODELO HMM USANDO EM

Para las pruebas que se han realizado hasta ahora, se han usado grabaciones creadas sintéticamente; esto es, usando un sintetizador de voz. El hacer las grabaciones con voces sintéticas nos permite tener un mayor control sobre la calidad de la grabación (no hay ruidos aditivos o interferencias), además de poder generar muchos más casos de prueba sin tantas complicaciones.

Para las primeras pruebas, se utilizó una grabación correspondiente a varios poemas de la autoría de Manuel Acuña, recitados por varios interlocutores.

Mediante bootstrap se busca genera un modelo representativo para cada una de las propuestas, y se hace la elección del número correcto de speakers identificados mediante BIC.

Para las pruebas, se analizaron modelos desde 2 hasta 7 personas participantes, mientras que los resultados que se presentan son las segmentaciones obtenidas usando desde 2 hasta 4 speakers; además de comparar el ground truth.

En la ?? se muestran los parámetros estimados a forma de matrices en falso color: la matriz inicial o a priori, la matriz de transiciones entre hablantes, la matriz de emisión de cada persona para todo el diccionario de palabras, así como la secuencia recuperada.

Como ya se había mencionado, hay un problema de identificación con los interlocutores, por lo que en muchos casos las matrices no corresponderán tal cual, sino que puede que haya intercambio entre las personas que se identificaron.

A partir de esto, y dependiendo de que la segmentación sea confiable, se puede usar algún algoritmo para deducir y emparejar a cada uno de los participantes detectados con su correspondiente en el ground truth.

Se muestra esta comparación, en tanto en ?? como en ??. Las secuencias recuperadas se representan como series de tiempo en donde además se marcan en rojo los errores al asignar a una persona equivocada.

Se puede observar como para el caso en que el modelo se ajusta para 3 personas, la secuencia recuperada en esencia es la misma, exceptuando algunos saltos que se presentan a veces; pero en general logra detectar de forma correcta cada que hay un cambio de interlocutor en la grabación original.

Ahora, al usar BIC para la selección del modelo, obtenemos la siguiente gráfica, con la que se observa que el modelo que se ajusta de mejor manera es en efecto el correspondiente a 6 personas, como se puede observar en la gráfica

Para la segunda prueba, se utilizaron varias composiciones del escritor Edgar Allan Poe, que fueron generadas de la misma manera sintéticamente, pero ahora utilizando un motor de voz en inglés.

Se muestran a continuación los resultados obtenidos de la misma manera.

En estas gráficas se observa de igual manera cómo se logró estimar de forma correcta el número de interlocutores. Cuando se aplica el modelo para un número menor que el real, se detectan las inconsistencias y aumenta la tasa de error; así como cuando se ajusta el modelo para un número mayor de personas, se sobre ajusta el modelo y se marcan como errores.

## EXPERIMENTOS Y RESULTADOS

---

En los capítulos anteriores se ha descrito los diferentes algoritmos que se utilizarán para realizar la tarea de *speaker diarisation*, y que en esta sección se emplearán de acuerdo al marco experimental que se describe a continuación.

Inicialmente, las pruebas consistieron en usar los algoritmos presentados para selección de modelo usando datos que fueron generados aleatoriamente a partir de los parámetros de un HMM inicial; para tener una idea general de su desempeño individual.

Para estas primeras pruebas, se simuló una cadena de Márkov oculta con base en parámetros fijos, generando tanto una secuencia de datos observados, como los supuestos datos o variables ocultas que forman la cadena de Márkov. Se utilizó muestreo ancestral para la simulación de estos datos.

Para un caso en específico, se tiene lo siguiente. Realizando la inferencia de parámetros del HMM, se obtienen los siguientes resultados:

El primer algoritmo que se prueba, es el de selección de modelo usando un BIC.

Como ya se comentó, se usará una variante de BIC en donde se incorpora un término de regularización  $\lambda$  para que correspondan en órdenes de magnitud tanto la log-verosimilitud del modelo encontrado como su penalización respectiva.

El problema inmediato que se presenta, es cómo realizar la selección del parámetro de regularización  $\lambda$  que penalice de forma correcta la verosimilitud para los diferentes modelos propuestos. Si  $\lambda$  es demasiado pequeño, entonces la penalización realmente no tendrá efecto y dado el sobre ajuste que se presenta al usar modelos más complejos, se preferirán siempre los modelos con más parámetros. Por otro lado, si al escoger  $\lambda$  se da demasiado peso al término de penalización, entonces siempre se preferirán los modelos más sencillos.

Para encontrar el valor de  $\lambda$  adecuado, se puede entonces formar una superficie con las diferentes curvas de selección BIC de acuerdo a cómo varía  $\lambda$ , e inspeccionar esta superficie para encontrar una región de confianza en la que el valor de  $\lambda$  es el adecuado.

Por otro lado, para la segunda prueba, se procedió a usar bootstrap con la estadística log-likelihood ratio como ya se describió anteriormente en el [Sección 3.3](#), y haciendo la prueba de hipótesis del modelo de  $n$  estados contra el de  $n + 1$  estados.

## 6.1 EXPERIMENTOS

Para los experimentos realizados, se generaron mediante un sintetizador de voz (también conocido como Text-To-Speech o TTS por sus siglas en inglés) para la generación de las Secuencias de prueba, lo que nos permitió tener un mayor control sobre el contenido como tal de las grabaciones, así como sobre los posibles ruidos o interferencias en la señal de audio.

Si bien, para probar el desempeño contra otras propuestas del estado del arte se suelen usar otro tipo de bases de datos (tales como NIST, ...), éstas suelen no estar disponibles de forma libre, por lo que preferimos generar nosotros un conjunto de pruebas con el sintetizador de voz.

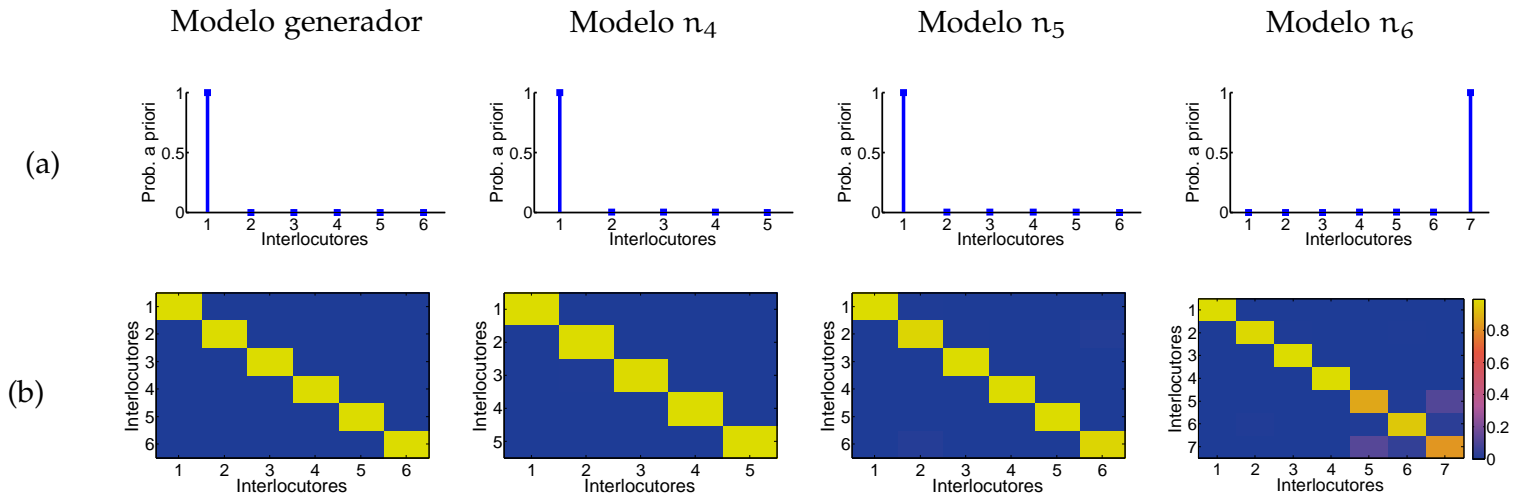
Usando dos motores para el sintetizador de voz, uno con voces en inglés y otro con voces en español, se generaron 6 secuencias de audio (3 en cada idioma) cuya duración así como el número de interlocutores que participan varía.

### 6.1.1 *Secuencia 1: Edgar Allan Poe*

En esta primer secuencia se tomaron varios poemas del escritor Edgar Allan Poe, y se utilizaron 6 diferentes voces en inglés. La secuencia de audio original es de 12:06 min.

Para la etapa de agrupación de los vectores MFCC con k-means++ se usaron 140 centros iniciales, mientras que el banco de filtros fue el mismo que anteriormente se mencionó.

En las [Figura 6.1](#) y [Figura 6.2](#) se muestran los parámetros estimados para los diferentes modelos que se propusieron. La primer columna corresponde a los parámetros verdaderos, mientras que



**Figura 6.1:** Por columnas, se muestran los parámetros obtenidos para varios modelos propuestos. La primer columna corresponde a los parámetros verdaderos. En la primer fila (a) se muestran las probabilidades a priori de que cada uno de los interlocutores empiecen la conversación. En la segunda fila (b) se muestra en falso color la matriz de transición entre interlocutores para cada uno de los modelos mostrados.

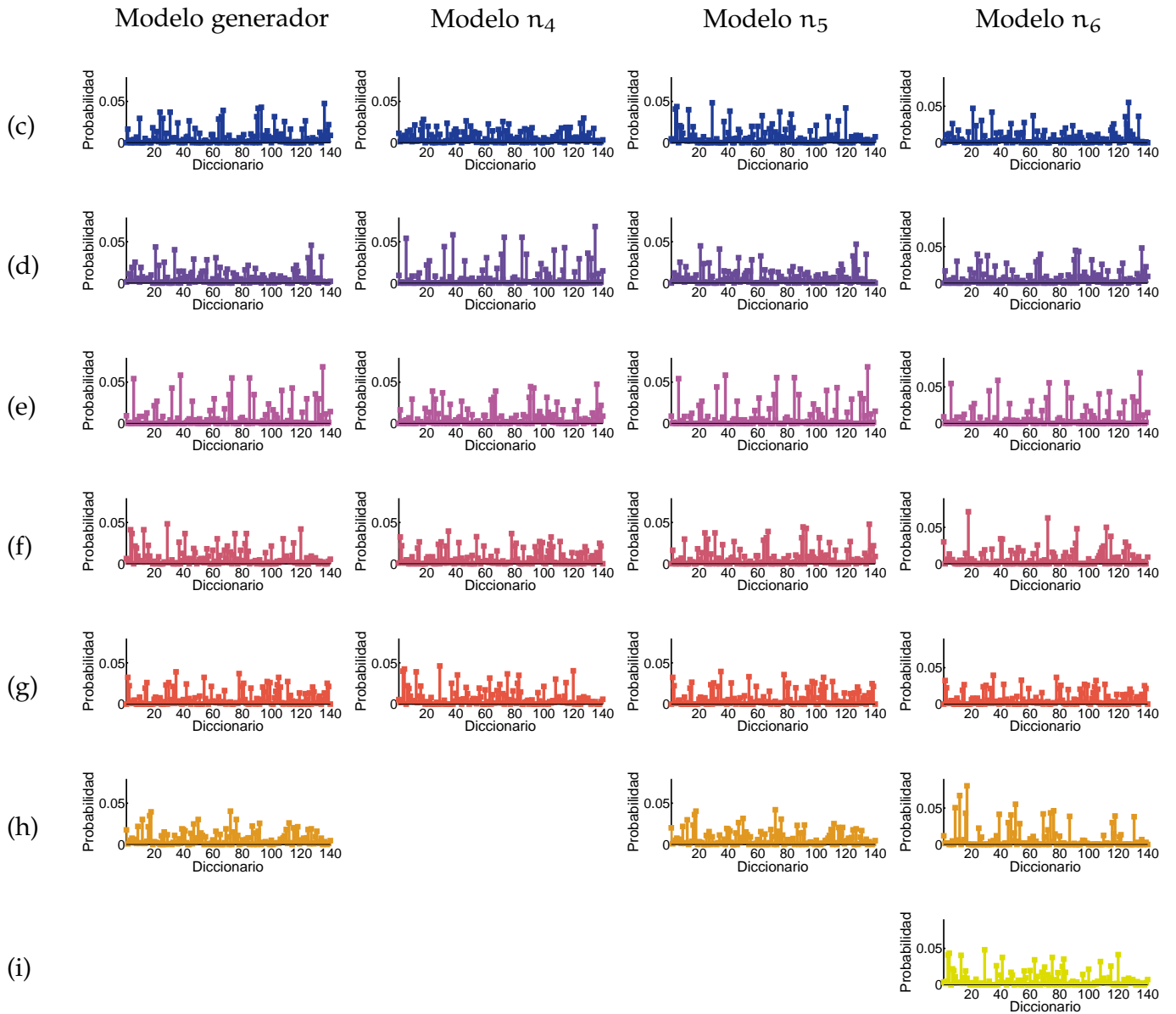
las demás columnas son los parámetros obtenidos para diferentes modelos estimados.

En la primer fila de la [Figura 6.1](#) se muestran las probabilidades a priori de que cada uno de los interlocutores empiecen el diálogo. En la segunda fila se muestra en falso color la matriz de transición para cada uno de los modelos. Esta matriz representa la probabilidad de cambio entre las personas que participan en la conversación.

Se observa como en general para todos los modelos propuestos la matriz de transición que se recupera tiene una estructura diagonal, puesto que en este tipo de problemas, una persona suele hablar durante un periodo considerablemente largo, para que luego otra persona empiece a hablar.

En la [Figura 6.2](#) se muestran las probabilidades de emisión para cada uno de los participantes, de acuerdo a las palabras en las que se ha discretizado la conversación, como se explicó anteriormente en el algoritmo (ref). Idealmente, cada interlocutor tiene asignadas con mayor probabilidad un cierto conjunto de palabras del diccionario, lo que hace que la identificación de las personas sea mucho más fácil de realizar.

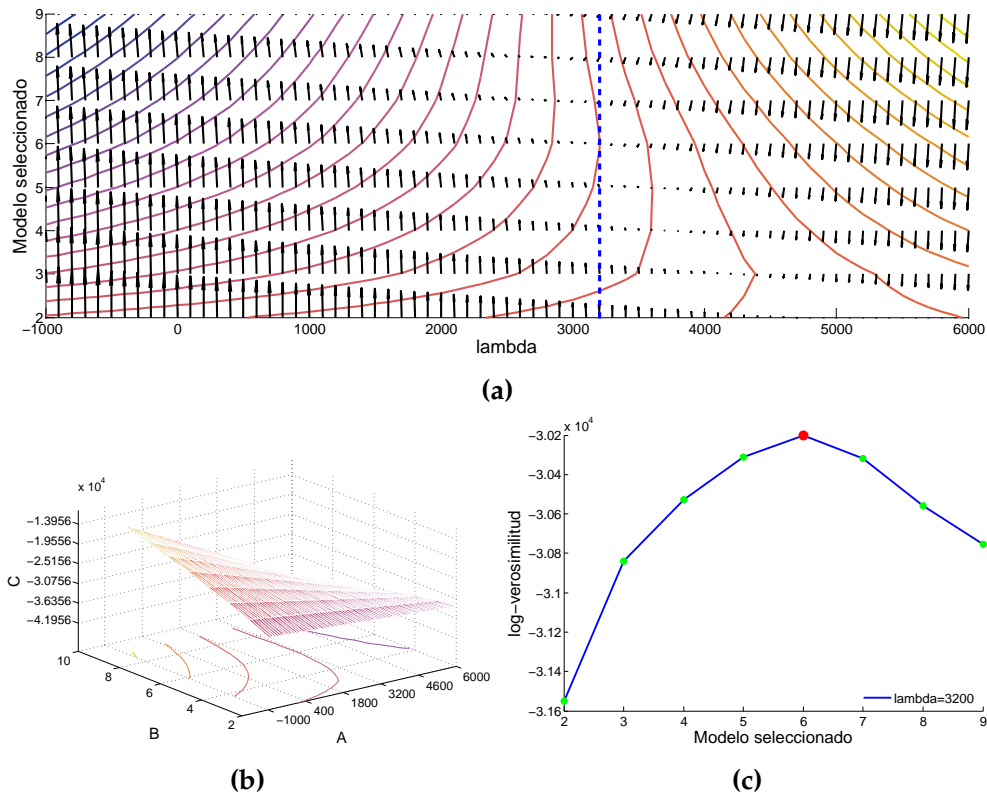
Para la selección del modelo y siguiendo la metodología propuesta, primero se efectúa una inspección por medio de BIC regu-



**Figura 6.2:** Por columnas, se muestran las probabilidades de emisión para cada uno de los interlocutores de acuerdo al modelo. Cada fila representa las probabilidades de emisión de las palabras en el diccionario. La fila (c) para la primera persona, la fila (d) para la segunda persona y así de forma consecutiva, de acuerdo al número de personas que contempla cada modelo propuesto.

larizado para encontrar cuál o cuáles son los modelos más probables.

En la [Figura 6.3b](#) se muestra la superficie generada al variar el valor de  $\lambda$  para diferentes curvas de selección BIC. Se observa cómo al principio  $\lambda$  es muy pequeño, y entonces el término de penalización no funciona por lo que se prefieren los modelos más



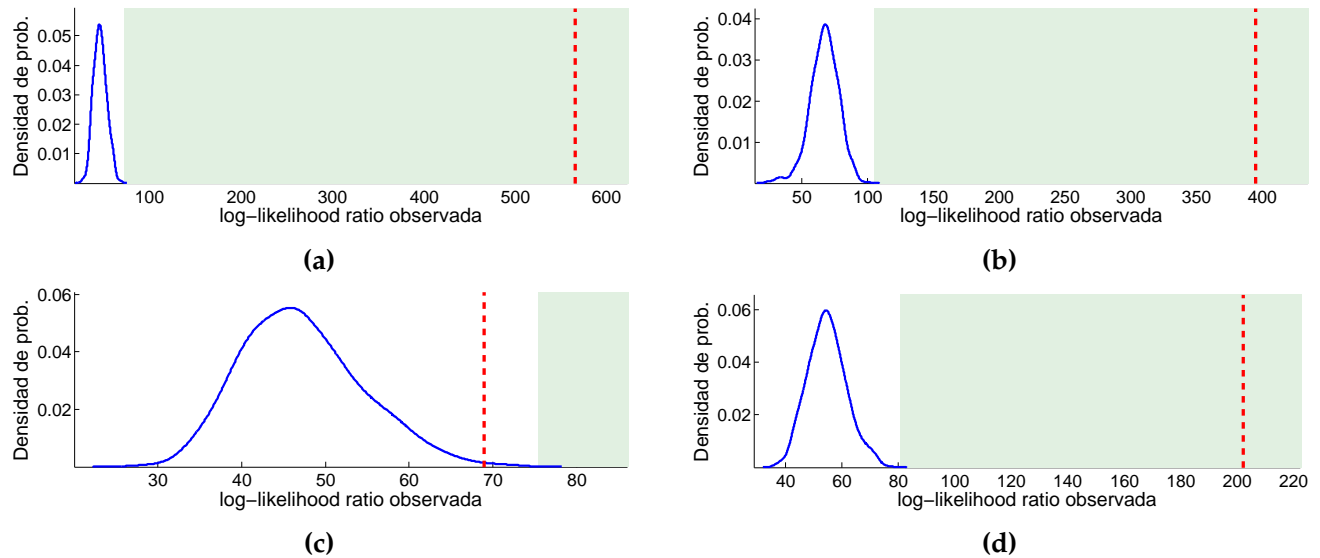
**Figura 6.3:** En la [Figura 6.3a](#), se muestra las curvas de nivel de la superficie al variar el valor de  $\lambda$  para evaluar BIC, así como la dirección del gradiente en la misma. En la [Figura 6.3b](#) se muestra una perspectiva general de superficie en [Figura 6.3a](#). En la [Figura 6.3c](#) se muestra el valor seleccionado para  $\lambda$  de acuerdo al análisis de sensibilidad realizado en la superficie anterior.

complejos y sobre ajustados. Por otro lado, cuando  $\lambda$  es muy grande, la penalización no permite mas que escoger los modelos más simples.

Haciendo un análisis de sensibilidad se puede determinar cuál es el parámetro  $\lambda$  adecuado que penaliza de buena forma la log-verosimilitud.

En la [Figura 6.3a](#) se muestran las curvas de nivel de la figura anterior, además de la dirección del gradiente de la misma. Así mismo, en falso color se resaltan las zonas en las que el gradiente es menor.

Lo que nos interesa encontrar en la superficie, es el valor de  $\lambda$  que representa el punto de inflexión entre la selección de modelos demasiado complejos y modelos más simples. Para esto, se busca la zona en la que el gradiente sea lo más cercano a cero, pues implicaría que es un punto crítico.



**Figura 6.4:** En la [Figura 6.4a](#) se muestra la prueba de hipótesis realizada para comparar el modelo  $\pi_4$  contra  $\pi_5$ . Como se observa, se rechaza la hipótesis de que el modelo correcto sea  $\pi_4$ . En la [Figura 6.4b](#) se hace la prueba del modelo  $\pi_5$  contra  $\pi_6$ , y de la misma manera, se rechaza la hipótesis de que el modelo correcto sea  $\pi_5$ . Se sigue con la prueba de hipótesis del modelo  $\pi_6$  contra  $\pi_7$  en la [Figura 6.4c](#), y en este caso el valor observado no cae dentro de la región de rechazo, por lo que no podemos rechazar que el modelo  $\pi_6$  sea el correcto. Por último en la [Figura 6.4d](#), se hace la prueba del modelo  $\pi_7$  contra el modelo  $\pi_8$ , y se vuelve a rechazar la hipótesis nula.

Debido a la escala y a la forma en la que se calculó el gradiente, aunque para algunos valores cercanos de  $\lambda$  no haya mucha variación en esa dirección; si BIC está penalizando mal, entonces sí habrá gran variación para los diferentes modelos. Es por esto, que sólo en la zona en que la penalización sea del mismo orden de magnitud que la verosimilitud la variación en la curva BIC con el  $\lambda$  adecuado no será tan grande como en otras zonas.

Por último, se muestra en [Figura 6.3c](#) la curva BIC con el valor de  $\lambda$  encontrado a partir del análisis de sensibilidad realizado en la [Figura 6.3a](#). El o los modelos que tengan un mayor valor BIC serán los que se seleccionarán como modelos ganadores.

En caso de que después de utilizar BIC se presente ambigüedad para determinar un modelo ganador, o ya sea para realizar un análisis más exhaustivo, se puede proponer hacer una prueba de hipótesis para determinar cuál modelo se ajusta mejor a los datos.

A diferencia de la primer etapa, en la que se usa BIC como criterio para seleccionar el mejor modelo de un conjunto no definido de modelos con diferentes parámetros, la intención de hacer pruebas de hipótesis es determinar en un pequeño conjunto de



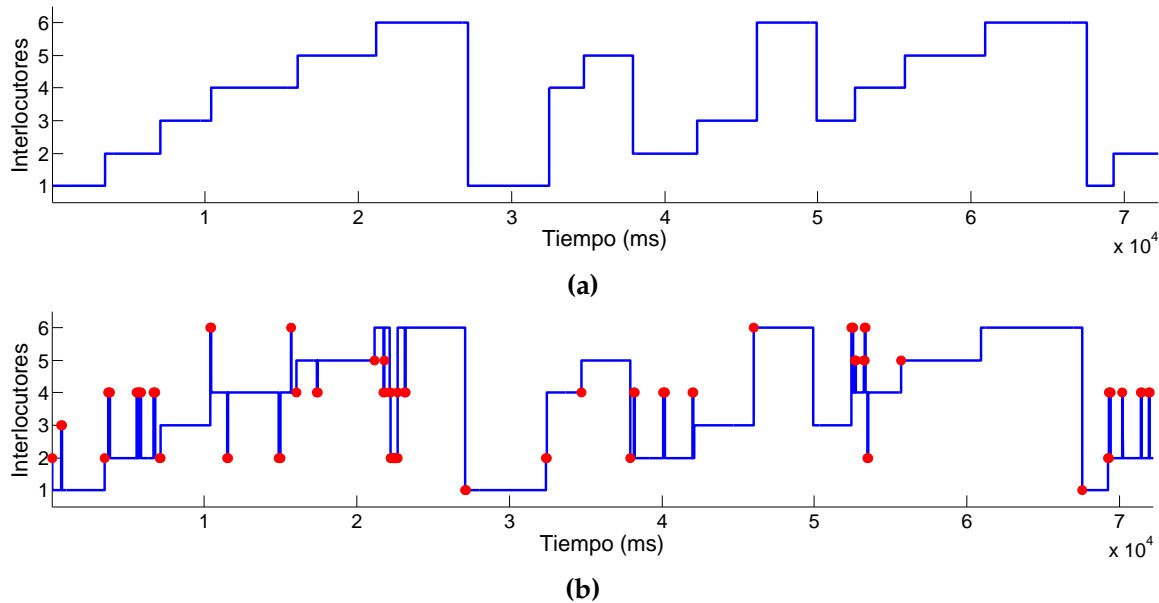
probables modelos, cuál es mejor, y qué tan bueno es un modelo respecto a otro.

Al plantear la prueba de hipótesis se harán una gran cantidad de simulaciones para ver qué tan bien se ajusta cada modelo a los datos originales, por lo que este proceso es computacionalmente intensivo y sólo se recomienda hacerlo para evitar la ambigüedad entre un par de modelos.

...

Por último, ya con el modelo seleccionado, se procede a calcular el error relativo de predicción que se obtuvo, comparando con el ground truth que se dispone para esa secuencia, con lo que se obtiene:

...



**Figura 6.5:** En *Figura 6.5a* se muestra la secuencia original de la *Subsección 6.1.1*. En comparación, en *Figura 6.5b* se muestra la secuencia recuperada del modelo ganador y se marcan en rojo los errores cometidos respecto a la primera secuencia.

Más a detalle, en la *Figura 6.5* se observa en azul el orden en el que participan los interlocutores de acuerdo a la secuencia recuperada. En rojo se marcan tanto los falsos positivos como los falsos negativos, de acuerdo al ground truth. Hay que notar que cuando el número de estados para un modelo no es el correcto, entonces

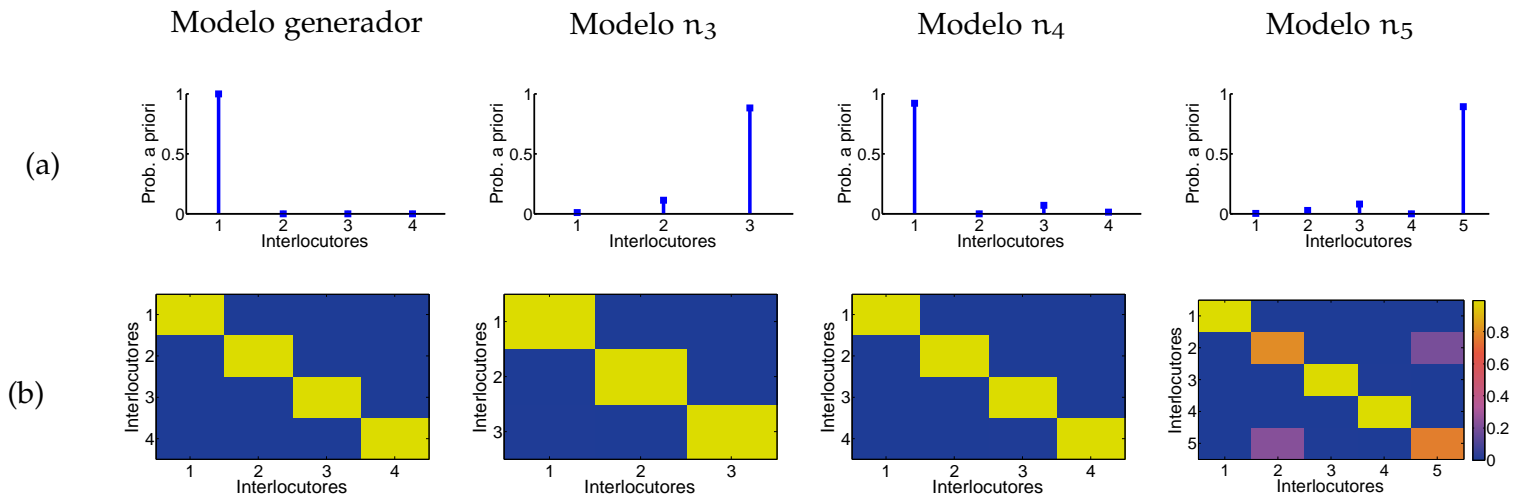
inminentemente el número de errores en la secuencia obtenida será mayor, pues al menos todas las intervenciones de un hablante no podrán ser emparejadas o serán asignadas a alguien más.

Se observa también que la mayoría de las veces, en la secuencia recuperada se encuentran algunos brincos entre personas, pero en esencia la estructura y el orden en que hablan los interlocutores es el correcto.

### 6.1.2 Secuencia 2: Gabriel García Márquez

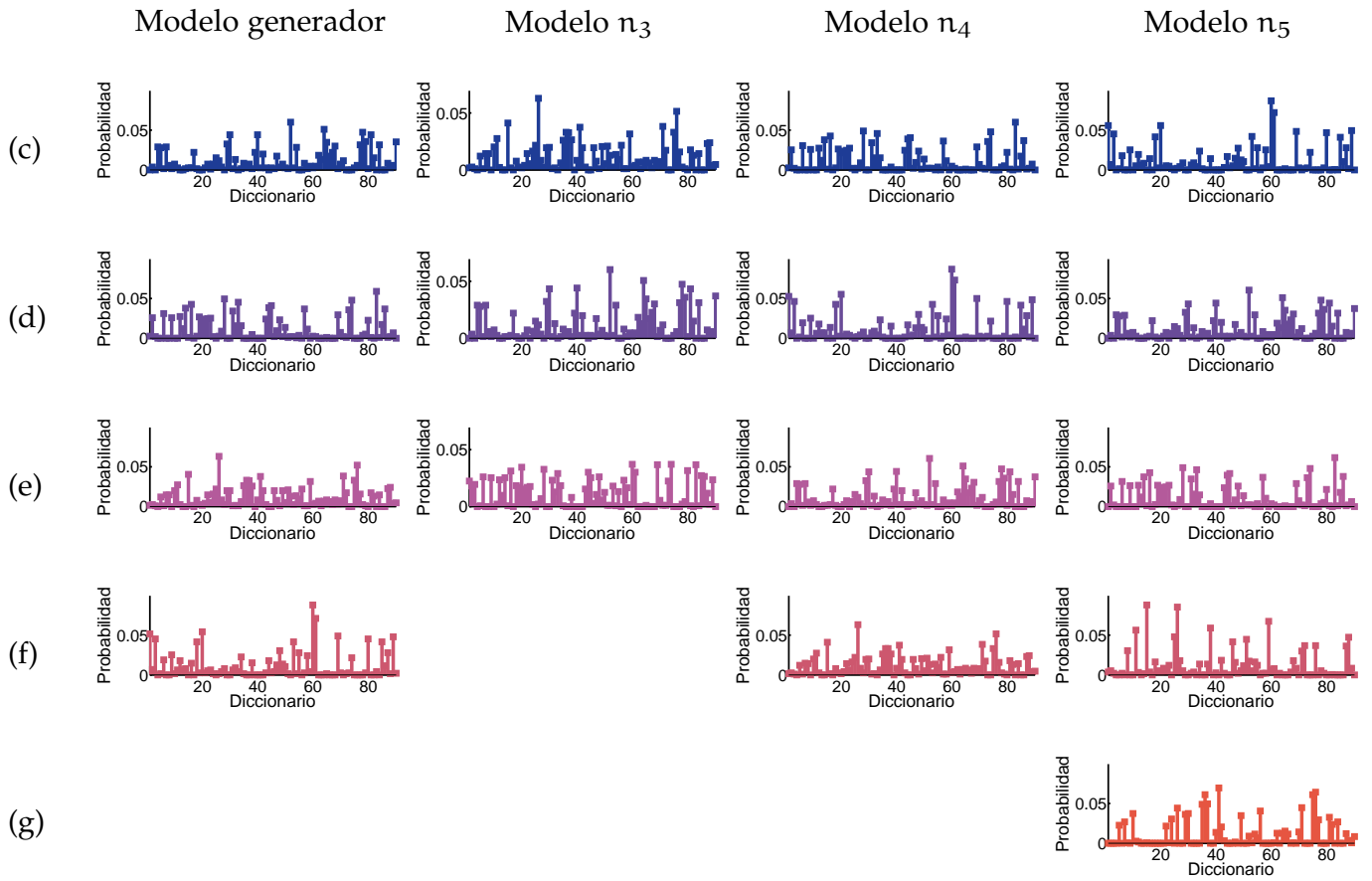
Para la segunda secuencia se utilizaron algunos fragmentos de la novela 'El laberinto de la soledad' del escritor Gabriel García Márquez, con 4 distintas voces en español. La secuencia de audio original es de 6:55 min.

Para la etapa de agrupación de los vectores MFCC con k-means++ se usaron 90 centros iniciales, mientras que el banco de filtros fue el mismo que en la secuencia anterior.



**Figura 6.6:** Por columnas, se muestran los parámetros obtenidos para varios modelos propuestos. La primer columna corresponde a los parámetros verdaderos. En la primer fila (a) se muestran las probabilidades a priori de que cada uno de los interlocutores empiecen la conversación. En la segunda fila (b) se muestra en falso color la matriz de transición entre interlocutores para cada uno de los modelos mostrados.

En las ?? y ?? se muestran los parámetros estimados para los diferentes modelos que se propusieron. La primer columna co-



**Figura 6.7:** Por columnas, se muestran las probabilidades de emisión para cada uno de los interlocutores de acuerdo al modelo. Cada fila representa las probabilidades de emisión de las palabras en el diccionario. La fila (c) para la primera persona, la fila (d) para la segunda persona y así de forma consecutiva, de acuerdo al número de personas que contempla cada modelo propuesto.

responde a los parámetros verdaderos, mientras que las demás columnas son los parámetros obtenidos para diferentes modelos estimados.

En la primera fila de la ?? se muestran las probabilidades a priori de que cada uno de los interlocutores empiecen el diálogo. En la segunda fila se muestra en falso color la matriz de transición para cada uno de los modelos. Esta matriz representa la probabilidad de cambio entre las personas que participan en la conversación.

Se observa como en general para todos los modelos propuestos la matriz de transición que se recupera tiene una estructura diagonal, puesto que en este tipo de problemas, una persona suele hablar durante un periodo considerablemente largo, para que luego otra persona empiece a hablar.



**Figura 6.8:** En la [Figura 6.8a](#), se muestra las curvas de nivel de la superficie al variar el valor de  $\lambda$  para evaluar BIC, así como la dirección del gradiente en la misma. En la [Figura 6.8b](#) se muestra una perspectiva general de superficie en [Figura 6.8a](#). En la [Figura 6.8c](#) se muestra el valor seleccionado para  $\lambda$  de acuerdo al análisis de sensibilidad realizado en la superficie anterior.

En la ?? se muestran las probabilidades de emisión para cada uno de los participantes, de acuerdo a las palabras en las que se ha discretizado la conversación. Idealmente, cada interlocutor tiene asignadas con mayor probabilidad un cierto conjunto de palabras del diccionario, lo que hace que la identificación de las personas sea mucho más fácil de realizar.

Para la selección del modelo y siguiendo la metodología propuesta, primero se efectúa una inspección por medio de BIC regularizado para encontrar cuál o cuáles son los modelos más probables.

En la [Figura 6.8b](#) se muestra la superficie generada al variar el valor de  $\lambda$  para diferentes curvas de selección BIC. Se observa cómo al principio  $\lambda$  es muy pequeño, y entonces el término de penalización no funciona por lo que se prefieren los modelos más complejos y sobre ajustados. Por otro lado, cuando  $\lambda$  es muy gran-

de, la penalización no permite mas que escoger los modelos más simples.

Haciendo un análisis de sensibilidad se puede determinar cuál es el parámetro  $\lambda$  adecuado que penaliza de buena forma la log-verosimilitud.

En la [Figura 6.8a](#) se muestran las curvas de nivel de la figura anterior, además de la dirección del gradiente de la misma. Así mismo, en falso color se resaltan las zonas en las que el gradiente es menor.

Lo que nos interesa encontrar en la superficie, es el valor de  $\lambda$  que representa el punto de inflexión entre la selección de modelos demasiado complejos y modelos más simples. Para esto, se busca la zona en la que el gradiente sea lo más cercano a cero, pues implicaría que es un punto crítico.

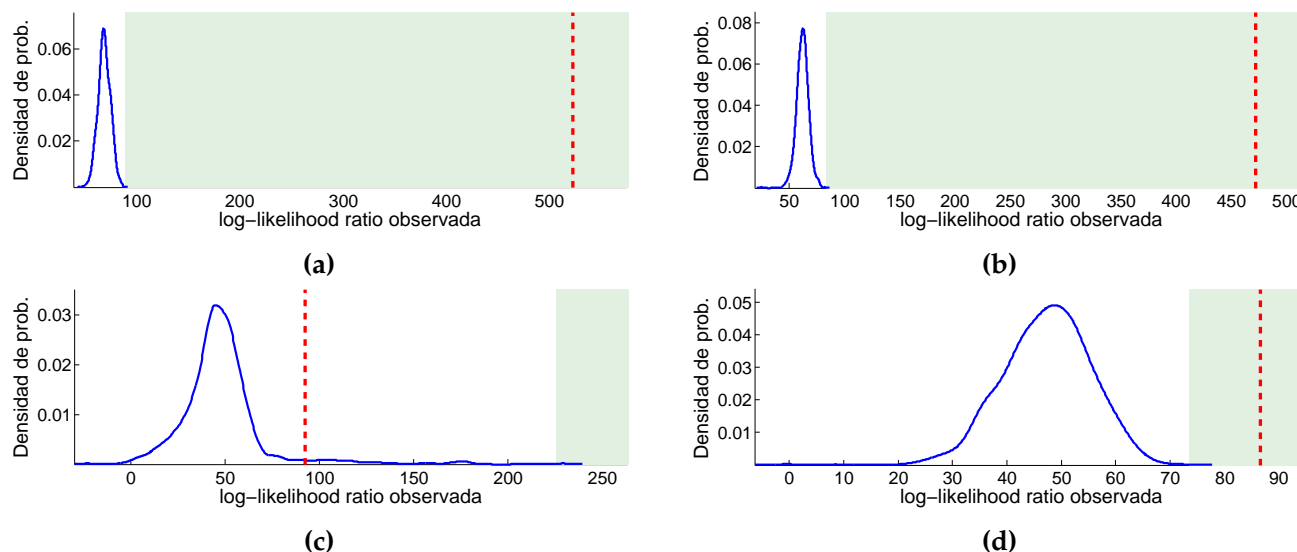
Debido a la escala y a la forma en la que se calculó el gradiente, aunque para algunos valores cercanos de  $\lambda$  no haya mucha variación en esa dirección; si BIC está penalizando mal, entonces sí habrá gran variación para los diferentes modelos. Es por esto, que sólo en la zona en que la penalización sea del mismo orden de magnitud que la verosimilitud la variación en la curva BIC con el  $\lambda$  adecuado no será tan grande como en otras zonas.

Por último, se muestra en [Figura 6.8c](#) la curva BIC con el valor de  $\lambda$  encontrado a partir del análisis de sensibilidad realizado en la [Figura 6.8a](#). El o los modelos que tengan un mayor valor BIC serán los que se seleccionarán como modelos ganadores.

En caso de que después de utilizar BIC se presente ambigüedad para determinar un modelo ganador, o ya sea para realizar un análisis más exhaustivo, se puede proponer hacer una prueba de hipótesis para determinar cuál modelo se ajusta mejor a los datos.

A diferencia de la primer etapa, en la que se usa BIC como criterio para seleccionar el mejor modelo de un conjunto no definido de modelos con diferentes parámetros, la intención de hacer pruebas de hipótesis es determinar en un pequeño conjunto de probables modelos, cuál es mejor, y qué tan bueno es un modelo respecto a otro.

Al plantear la prueba de hipótesis se harán una gran cantidad de simulaciones para ver qué tan bien se ajusta cada modelo a los datos originales, por lo que este proceso es computacionalmente intensivo y sólo se recomienda hacerlo para evitar la ambigüedad entre un par de modelos.



**Figura 6.9:** En la [Figura 6.9a](#) se muestra la prueba de hipótesis realizada para comparar el modelo  $\pi_2$  contra  $\pi_3$ . Como se observa, se rechaza la hipótesis de que el modelo correcto sea  $\pi_4$ . En la [Figura 6.9b](#) se hace la prueba del modelo  $\pi_3$  contra  $\pi_4$ , y de la misma manera, se rechaza la hipótesis de que el modelo correcto sea  $\pi_3$ . Se sigue con la prueba de hipótesis del modelo  $\pi_4$  contra  $\pi_5$  en la [Figura 6.9c](#), y en este caso el valor observado no cae dentro de la región de rechazo, por lo que no podemos rechazar que el modelo  $\pi_4$  sea el correcto. Por último en la [Figura 6.9d](#), se hace la prueba del modelo  $\pi_5$  contra el modelo  $\pi_6$ , y se vuelve a rechazar la hipótesis nula.

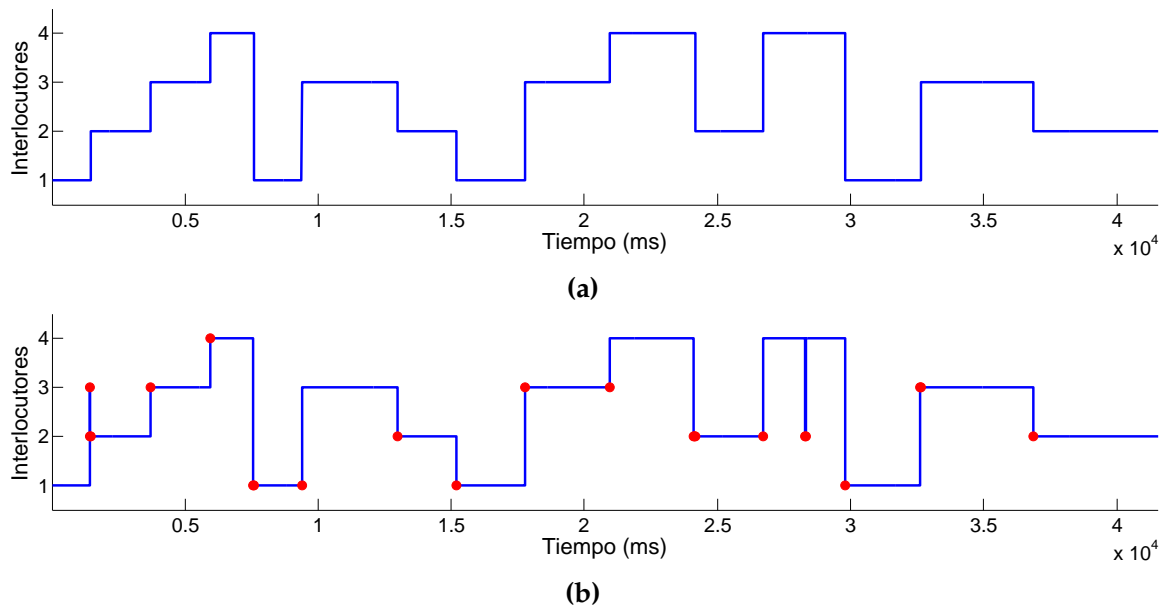
...

Por último, ya con el modelo seleccionado, se procede a calcular el error relativo de predicción que se obtuvo, comparando con el ground truth que se dispone para esa secuencia, con lo que se obtiene:

...

Más a detalle, en la [Figura 6.10](#) se observa en azul el orden en el que participan los interlocutores de acuerdo a la secuencia recuperada. En rojo se marcan tanto los falsos positivos como los falsos negativos, de acuerdo al ground truth. Hay que notar que cuando el número de estados para un modelo no es el correcto, entonces inminentemente el número de errores en la secuencia obtenida será mayor, pues al menos todas las intervenciones de un hablante no podrán ser emparejadas o serán asignadas a alguien más.

Se observa también que la mayoría de las veces, en la secuencia recuperada se encuentran algunos brincos entre personas, pero en



**Figura 6.10:** En *Figura 6.10a* se muestra la secuencia original de la *Subsección 6.1.2*. En comparación, en *Figura 6.10b* se muestra la secuencia recuperada del modelo ganador y se marcan en rojo los errores cometidos respecto a la primera secuencia.

esencia la estructura y el orden en que hablan los interlocutores es el correcto.

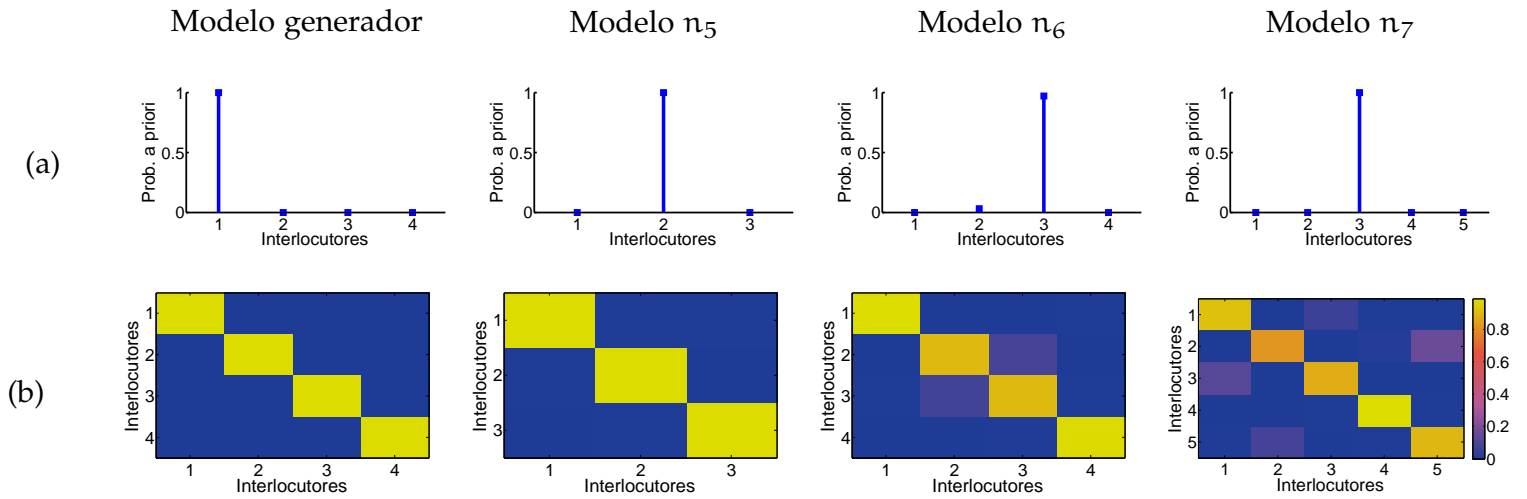
### 6.1.3 Secuencia 3: William Shakespeare

Para esta secuencia se utilizaron algunos poemas del escritor William Shakespeare, alternando 6 voces diferentes en inglés. La secuencia de audio original tiene una duración de 12:01 min.

Para la etapa de agrupación de los vectores MFCC con k-means++ se usaron 140 centros iniciales, mientras que el banco de filtros fue el mismo que en la secuencia anterior.

En las ?? y *Figura 6.12* se muestran los parámetros estimados para los diferentes modelos que se propusieron. La primer columna corresponde a los parámetros verdaderos, mientras que las demás columnas son los parámetros obtenidos para diferentes modelos estimados.

En la primer fila de la ?? se muestran las probabilidades a priori de que cada uno de los interlocutores empiecen el diálogo. En la segunda fila se muestra en falso color la matriz de transición para cada uno de los modelos. Esta matriz representa la probabilidad de cambio entre las personas que participan en la conversación.



**Figura 6.11:** Por columnas, se muestran los parámetros obtenidos para varios modelos propuestos. La primer columna corresponde a los parámetros verdaderos. En la primer fila (a) se muestran las probabilidades a priori de que cada uno de los interlocutores empiecen la conversación. En la segunda fila (b) se muestra en falso color la matriz de transición entre interlocutores para cada uno de los modelos mostrados.

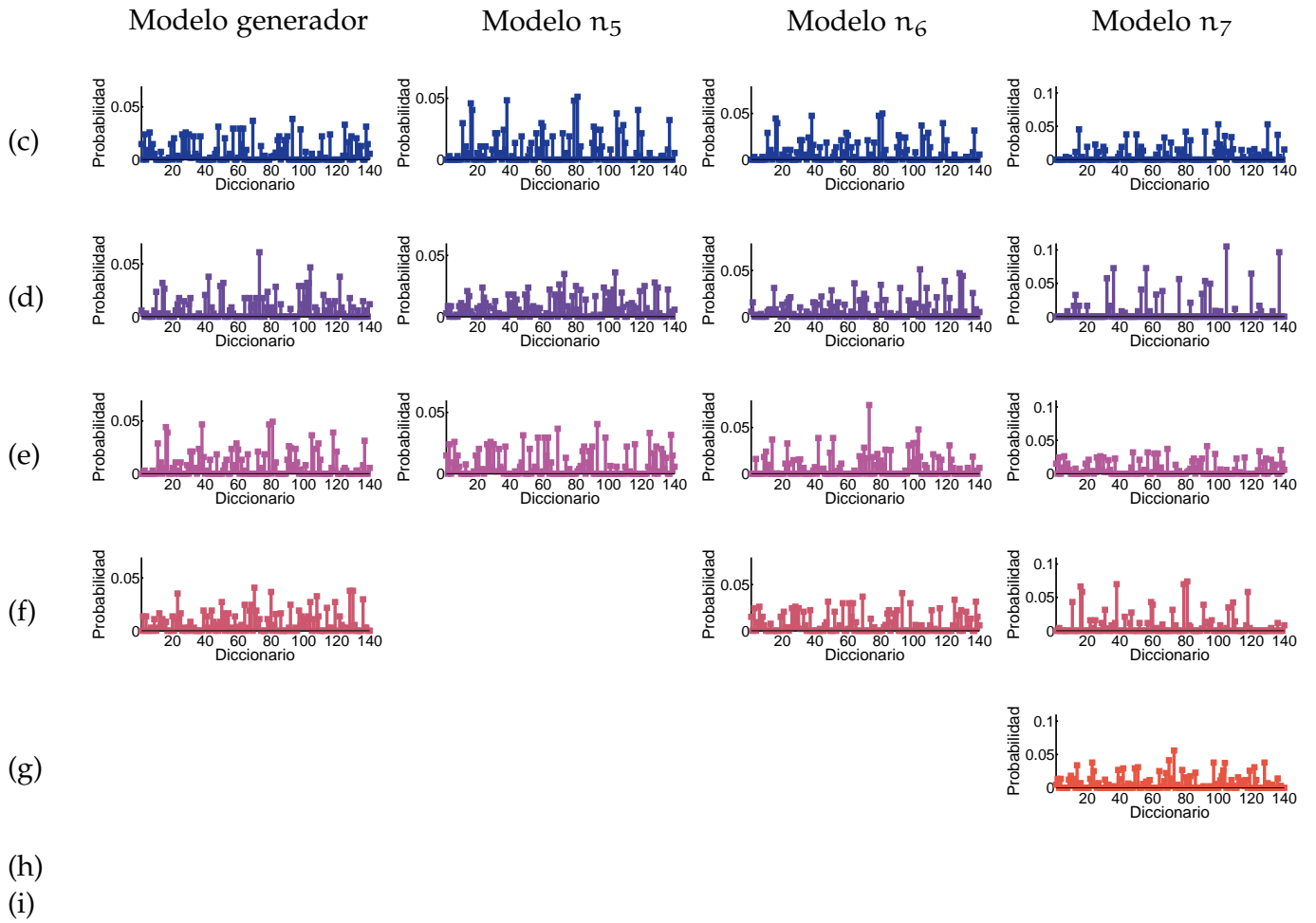
Se observa como en general para todos los modelos propuestos la matriz de transición que se recupera tiene una estructura diagonal, puesto que en este tipo de problemas, una persona suele hablar durante un periodo considerablemente largo, para que luego otra persona empiece a hablar.

En la ?? se muestran las probabilidades de emisión para cada uno de los participantes, de acuerdo a las palabras en las que se ha discretizado la conversación. Idealmente, cada interlocutor tiene asignadas con mayor probabilidad un cierto conjunto de palabras del diccionario, lo que hace que la identificación de las personas sea mucho más fácil de realizar.

Para la selección del modelo y siguiendo la metodología propuesta, primero se efectúa una inspección por medio de BIC regularizado para encontrar cuál o cuáles son los modelos más probables.

En la [Figura 6.13b](#) se muestra la superficie generada al variar el valor de  $\lambda$  para diferentes curvas de selección BIC. Se observa cómo al principio  $\lambda$  es muy pequeño, y entonces el término de penalización no funciona por lo que se prefieren los modelos más complejos y sobre ajustados. Por otro lado, cuando  $\lambda$  es muy grande, la penalización no permite mas que escoger los modelos más simples.



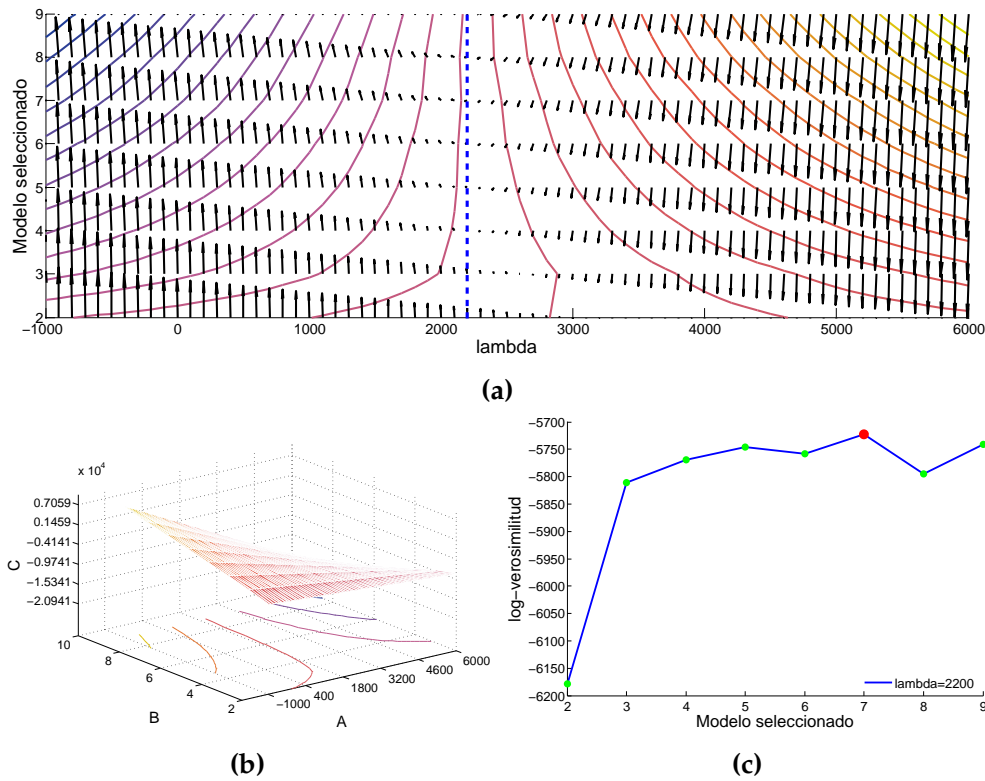


**Figura 6.12:** Por columnas, se muestran las probabilidades de emisión para cada uno de los interlocutores de acuerdo al modelo. Cada fila representa las probabilidades de emisión de las palabras en el diccionario. La fila (c) para la primera persona, la fila (d) para la segunda persona y así de forma consecutiva, de acuerdo al número de personas que contempla cada modelo propuesto.

Haciendo un análisis de sensibilidad se puede determinar cuál es el parámetro  $\lambda$  adecuado que penaliza de buena forma la log-verosimilitud.

En la [Figura 6.13a](#) se muestran las curvas de nivel de la figura anterior, además de la dirección del gradiente de la misma. Así mismo, en falso color se resaltan las zonas en las que el gradiente es menor.

Lo que nos interesa encontrar en la superficie, es el valor de  $\lambda$  que representa el punto de inflexión entre la selección de modelos demasiado complejos y modelos más simples. Para esto, se busca la zona en la que el gradiente sea lo más cercano a cero, pues implicaría que es un punto crítico.

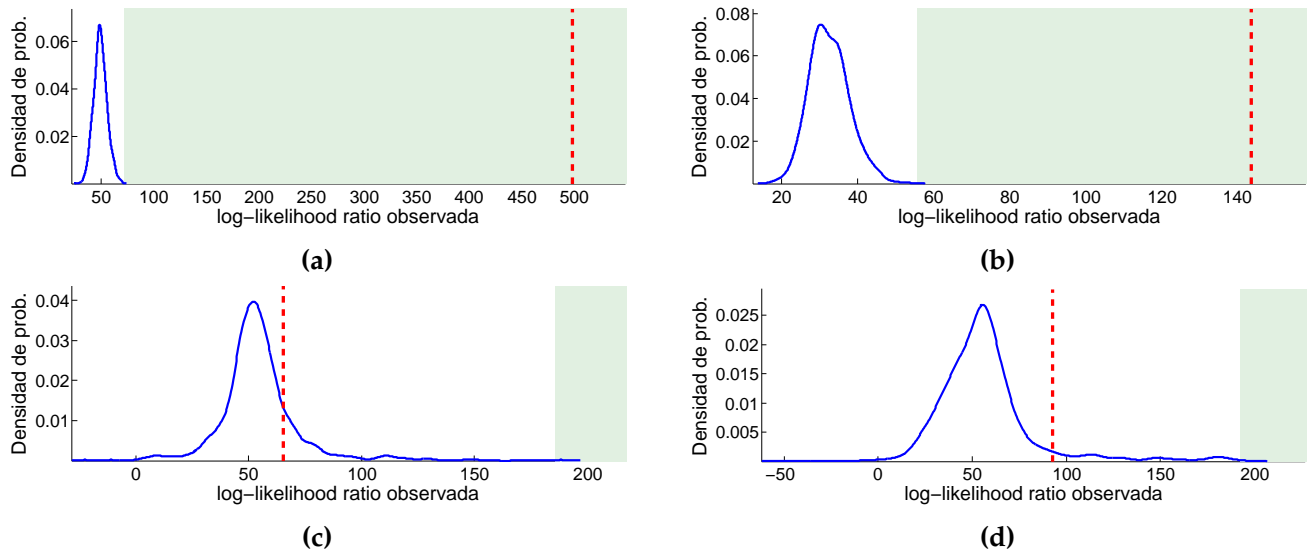


**Figura 6.13:** En la [Figura 6.13a](#), se muestra las curvas de nivel de la superficie al variar el valor de  $\lambda$  para evaluar BIC, así como la dirección del gradiente en la misma. En la [Figura 6.13b](#) se muestra una perspectiva general de superficie en [Figura 6.13a](#). En la [Figura 6.13c](#) se muestra el valor seleccionado para  $\lambda$  de acuerdo al análisis de sensibilidad realizado en la superficie anterior.

Debido a la escala y a la forma en la que se calculó el gradiente, aunque para algunos valores cercanos de  $\lambda$  no haya mucha variación en esa dirección; si BIC está penalizando mal, entonces sí habrá gran variación para los diferentes modelos. Es por esto, que sólo en la zona en que la penalización sea del mismo orden de magnitud que la verosimilitud la variación en la curva BIC con el  $\lambda$  adecuado no será tan grande como en otras zonas.

Por último, se muestra en [Figura 6.13c](#) la curva BIC con el valor de  $\lambda$  encontrado a partir del análisis de sensibilidad realizado en la [Figura 6.13a](#). El o los modelos que tengan un mayor valor BIC serán los que se seleccionarán como modelos ganadores.

En caso de que después de utilizar BIC se presente ambigüedad para determinar un modelo ganador, o ya sea para realizar un análisis más exhaustivo, se puede proponer hacer una prueba de hipótesis para determinar cuál modelo se ajusta mejor a los datos.



**Figura 6.14:** En la [Figura 6.14a](#) se muestra la prueba de hipótesis realizada para comparar el modelo  $\mathfrak{n}_4$  contra  $\mathfrak{n}_5$ . Como se observa, se rechaza la hipótesis de que el modelo correcto sea  $\mathfrak{n}_4$ . En la [Figura 6.14b](#) se hace la prueba del modelo  $\mathfrak{n}_5$  contra  $\mathfrak{n}_6$ , y de la misma manera, se rechaza la hipótesis de que el modelo correcto sea  $\mathfrak{n}_5$ . Se sigue con la prueba de hipótesis del modelo  $\mathfrak{n}_6$  contra  $\mathfrak{n}_7$  en la [Figura 6.14c](#), y en este caso el valor observado no cae dentro de la región de rechazo, por lo que no podemos rechazar que el modelo  $\mathfrak{n}_6$  sea el correcto. Por último en la [Figura 6.14d](#), se hace la prueba del modelo  $\mathfrak{n}_7$  contra el modelo  $\mathfrak{n}_8$ , y se vuelve a rechazar la hipótesis nula.

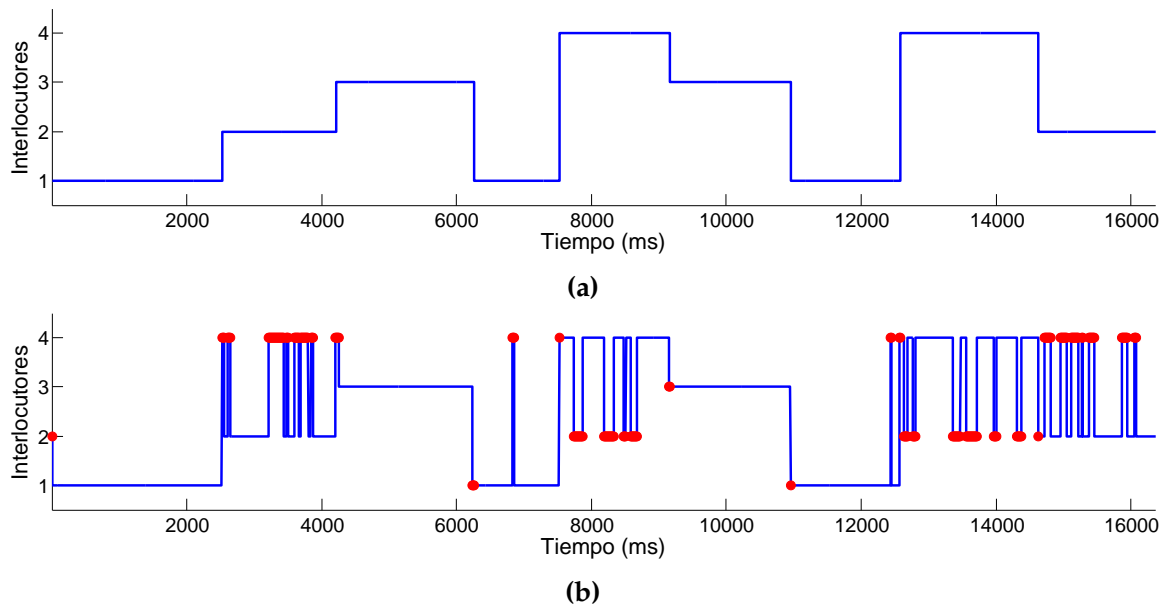
A diferencia de la primer etapa, en la que se usa BIC como criterio para seleccionar el mejor modelo de un conjunto no definido de modelos con diferentes parámetros, la intención de hacer pruebas de hipótesis es determinar en un pequeño conjunto de probables modelos, cuál es mejor, y qué tan bueno es un modelo respecto a otro.

Al plantear la prueba de hipótesis se harán una gran cantidad de simulaciones para ver qué tan bien se ajusta cada modelo a los datos originales, por lo que este proceso es computacionalmente intensivo y sólo se recomienda hacerlo para evitar la ambigüedad entre un par de modelos.

...

Por último, ya con el modelo seleccionado, se procede a calcular el error relativo de predicción que se obtuvo, comparando con el ground truth que se dispone para esa secuencia, con lo que se obtiene:

...



**Figura 6.15:** En *Figura 6.15a* se muestra la secuencia original de la *Subsección 6.1.3*. En comparación, en *Figura 6.15b* se muestra la secuencia recuperada del modelo ganador y se marcan en rojo los errores cometidos respecto a la primera secuencia.

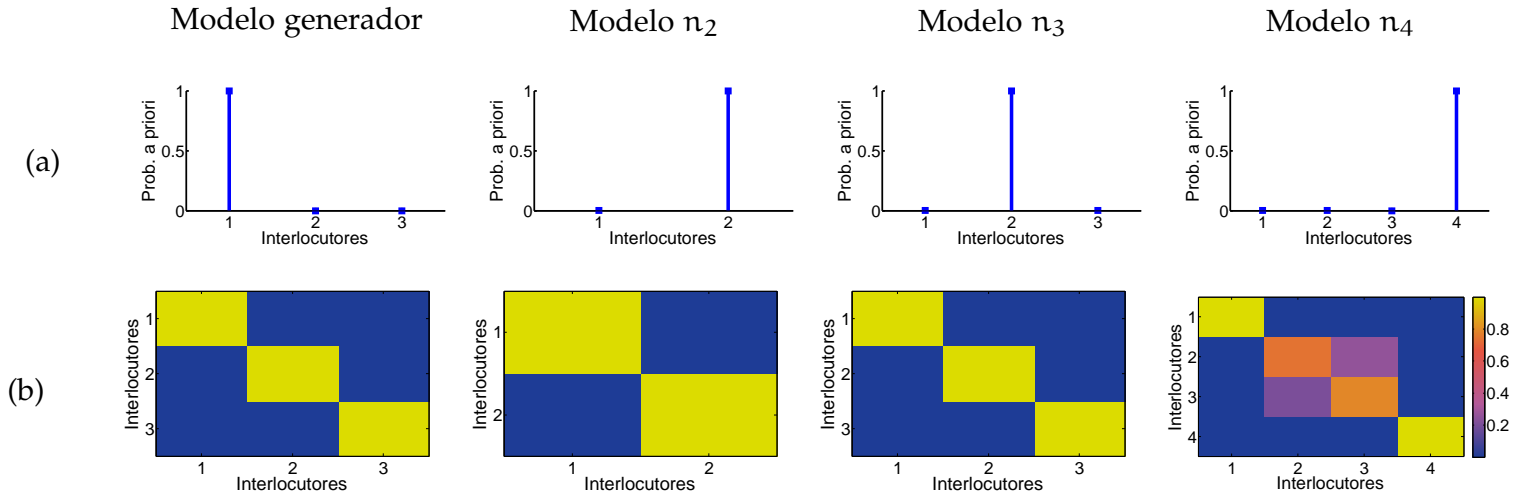
Más a detalle, en la *Figura 6.15* se observa en azul el orden en el que participan los interlocutores de acuerdo a la secuencia recuperada. En rojo se marcan tanto los falsos positivos como los falsos negativos, de acuerdo al ground truth. Hay que notar que cuando el número de estados para un modelo no es el correcto, entonces inminentemente el número de errores en la secuencia obtenida será mayor, pues al menos todas las intervenciones de un hablante no podrán ser emparejadas o serán asignadas a alguien más.

Se observa también que la mayoría de las veces, en la secuencia recuperada se encuentran algunos brincos entre personas, pero en esencia la estructura y el orden en que hablan los interlocutores es el correcto.

#### 6.1.4 Secuencia 4: Manuel Acuña

Para la cuarta secuencia se utilizaron algunos poemas del escritor Manuel Acuña, alternando 6 voces diferentes en español. La secuencia de audio original tiene una duración de 10:41 min.

Para la etapa de agrupación de los vectores MFCC con k-means++ se usaron 140 centros iniciales, mientras que el banco de filtros fue el mismo que en la secuencia anterior.

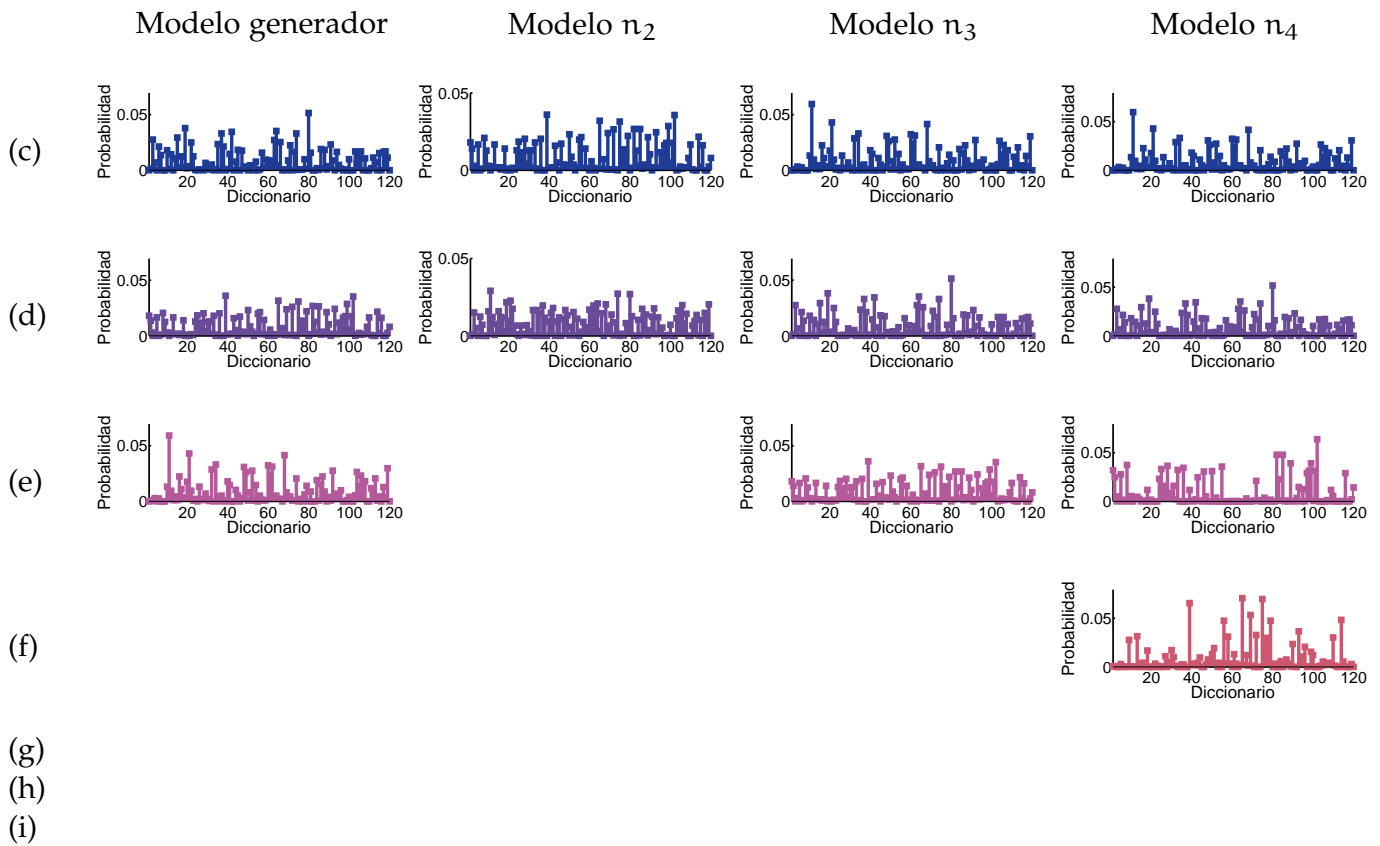


**Figura 6.16:** Por columnas, se muestran los parámetros obtenidos para varios modelos propuestos. La primer columna corresponde a los parámetros verdaderos. En la primer fila (a) se muestran las probabilidades a priori de que cada uno de los interlocutores empiecen la conversación. En la segunda fila (b) se muestra en falso color la matriz de transición entre interlocutores para cada uno de los modelos mostrados.

En las [Figura 6.16](#) y [Figura 6.27](#) se muestran los parámetros estimados para los diferentes modelos que se propusieron. La primer columna corresponde a los parámetros verdaderos, mientras que las demás columnas son los parámetros obtenidos para diferentes modelos estimados.

En la primer fila de la [Figura 6.16](#) se muestran las probabilidades a priori de que cada uno de los interlocutores empiecen el diálogo. En la segunda fila se muestra en falso color la matriz de transición para cada uno de los modelos. Esta matriz representa la probabilidad de cambio entre las personas que participan en la conversación.

Se observa como en general para todos los modelos propuestos la matriz de transición que se recupera tiene una estructura diagonal, puesto que en este tipo de problemas, una persona suele hablar durante un periodo considerablemente largo, para que luego otra persona empiece a hablar.

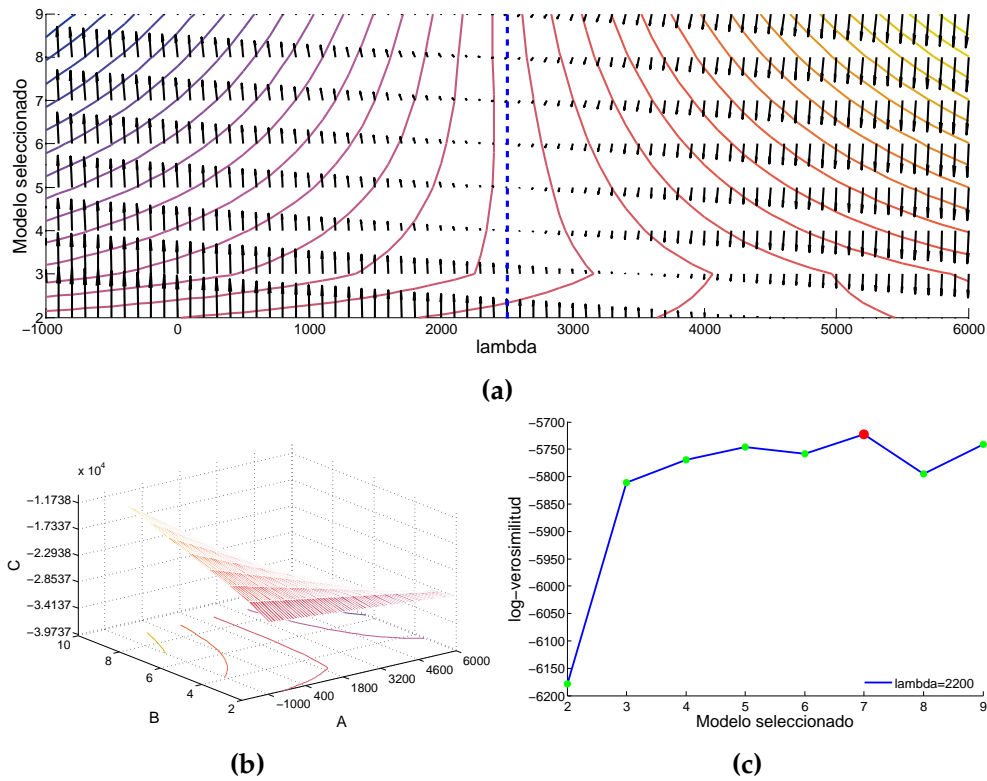


**Figura 6.17:** Por columnas, se muestran las probabilidades de emisión para cada uno de los interlocutores de acuerdo al modelo. Cada fila representa las probabilidades de emisión de las palabras en el diccionario. La fila (c) para la primera persona, la fila (d) para la segunda persona y así de forma consecutiva, de acuerdo al número de personas que contempla cada modelo propuesto.

En la ?? se muestran las probabilidades de emisión para cada uno de los participantes, de acuerdo a las palabras en las que se ha discretizado la conversación. Idealmente, cada interlocutor tiene asignadas con mayor probabilidad un cierto conjunto de palabras del diccionario, lo que hace que la identificación de las personas sea mucho más fácil de realizar.

Para la selección del modelo y siguiendo la metodología propuesta, primero se efectúa una inspección por medio de BIC regularizado para encontrar cuál o cuáles son los modelos más probables.

En la [Figura 6.18b](#) se muestra la superficie generada al variar el valor de  $\lambda$  para diferentes curvas de selección BIC. Se observa cómo al principio  $\lambda$  es muy pequeño, y entonces el término de penalización no funciona por lo que se prefieren los modelos más complejos y sobre ajustados. Por otro lado, cuando  $\lambda$  es muy gran-



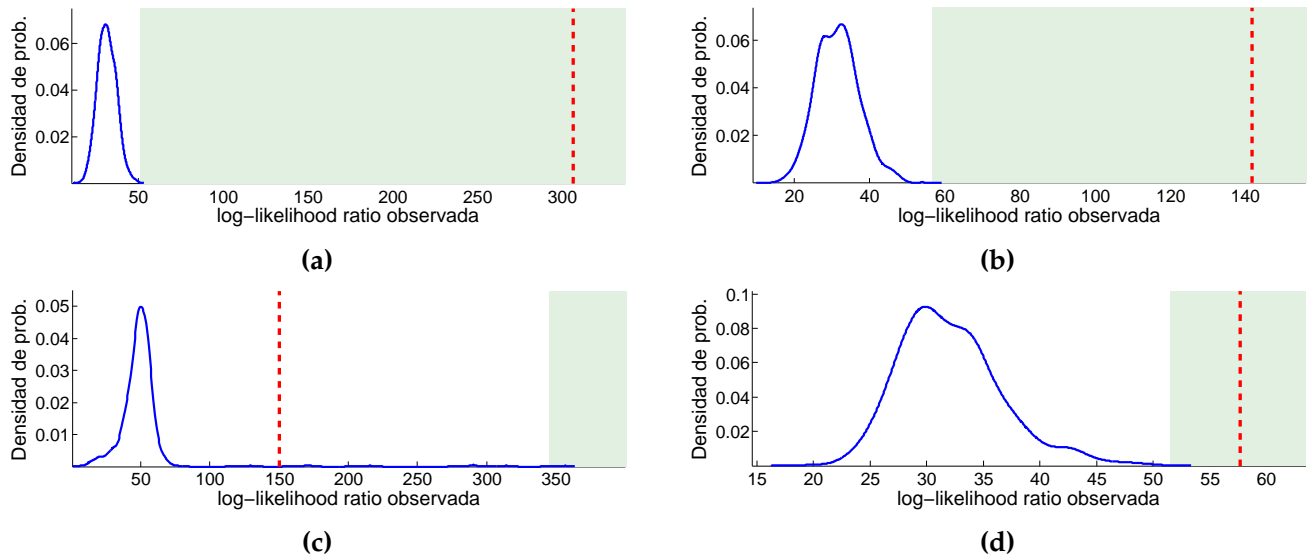
**Figura 6.18:** En la [Figura 6.18a](#), se muestra las curvas de nivel de la superficie al variar el valor de  $\lambda$  para evaluar BIC, así como la dirección del gradiente en la misma. En la [Figura 6.18b](#) se muestra una perspectiva general de superficie en [Figura 6.18a](#). En la [Figura 6.18c](#) se muestra el valor seleccionado para  $\lambda$  de acuerdo al análisis de sensibilidad realizado en la superficie anterior.

de, la penalización no permite mas que escoger los modelos más simples.

Haciendo un análisis de sensibilidad se puede determinar cuál es el parámetro  $\lambda$  adecuado que penaliza de buena forma la log-verosimilitud.

En la [Figura 6.18a](#) se muestran las curvas de nivel de la figura anterior, además de la dirección del gradiente de la misma. Así mismo, en falso color se resaltan las zonas en las que el gradiente es menor.

Lo que nos interesa encontrar en la superficie, es el valor de  $\lambda$  que representa el punto de inflexión entre la selección de modelos demasiado complejos y modelos más simples. Para esto, se busca la zona en la que el gradiente sea lo más cercano a cero, pues implicaría que es un punto crítico.



**Figura 6.19:** En la [Figura 6.19a](#) se muestra la prueba de hipótesis realizada para comparar el modelo  $n_4$  contra  $n_5$ . Como se observa, se rechaza la hipótesis de que el modelo correcto sea  $n_4$ . En la [Figura 6.19b](#) se hace la prueba del modelo  $n_5$  contra  $n_6$ , y de la misma manera, se rechaza la hipótesis de que el modelo correcto sea  $n_5$ . Se sigue con la prueba de hipótesis del modelo  $n_6$  contra  $n_7$  en la [Figura 6.19c](#), y en este caso el valor observado no cae dentro de la región de rechazo, por lo que no podemos rechazar que el modelo  $n_6$  sea el correcto. Por último en la [Figura 6.19d](#), se hace la prueba del modelo  $n_7$  contra el modelo  $n_8$ , y se vuelve a rechazar la hipótesis nula.

Debido a la escala y a la forma en la que se calculó el gradiente, aunque para algunos valores cercanos de  $\lambda$  no haya mucha variación en esa dirección; si BIC está penalizando mal, entonces sí habrá gran variación para los diferentes modelos. Es por esto, que sólo en la zona en que la penalización sea del mismo orden de magnitud que la verosimilitud la variación en la curva BIC con el  $\lambda$  adecuado no será tan grande como en otras zonas.

Por último, se muestra en [Figura 6.18c](#) la curva BIC con el valor de  $\lambda$  encontrado a partir del análisis de sensibilidad realizado en la [Figura 6.18a](#). El o los modelos que tengan un mayor valor BIC serán los que se seleccionarán como modelos ganadores.

En caso de que después de utilizar BIC se presente ambigüedad para determinar un modelo ganador, o ya sea para realizar un análisis más exhaustivo, se puede proponer hacer una prueba de hipótesis para determinar cuál modelo se ajusta mejor a los datos.

A diferencia de la primer etapa, en la que se usa BIC como criterio para seleccionar el mejor modelo de un conjunto no definido de modelos con diferentes parámetros, la intención de hacer pruebas de hipótesis es determinar en un pequeño conjunto de



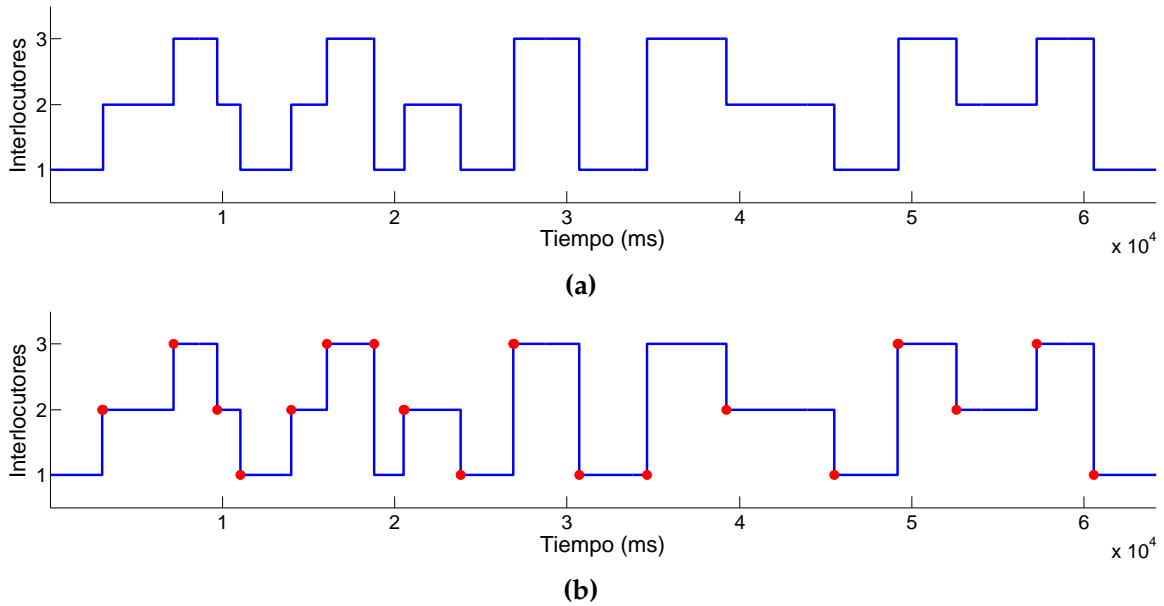
probables modelos, cuál es mejor, y qué tan bueno es un modelo respecto a otro.

Al plantear la prueba de hipótesis se harán una gran cantidad de simulaciones para ver qué tan bien se ajusta cada modelo a los datos originales, por lo que este proceso es computacionalmente intensivo y sólo se recomienda hacerlo para evitar la ambigüedad entre un par de modelos.

...

Por último, ya con el modelo seleccionado, se procede a calcular el error relativo de predicción que se obtuvo, comparando con el ground truth que se dispone para esa secuencia, con lo que se obtiene:

...



**Figura 6.20:** En *Figura 6.20a* se muestra la secuencia original de la *Subsección 6.1.4*. En comparación, en *Figura 6.20b* se muestra la secuencia recuperada del modelo ganador y se marcan en rojo los errores cometidos respecto a la primera secuencia.

Más a detalle, en la *Figura 6.30* se observa en azul el orden en el que participan los interlocutores de acuerdo a la secuencia recuperada. En rojo se marcan tanto los falsos positivos como los falsos negativos, de acuerdo al ground truth. Hay que notar que cuando el número de estados para un modelo no es el correcto, entonces inminentemente el número de errores en la secuencia

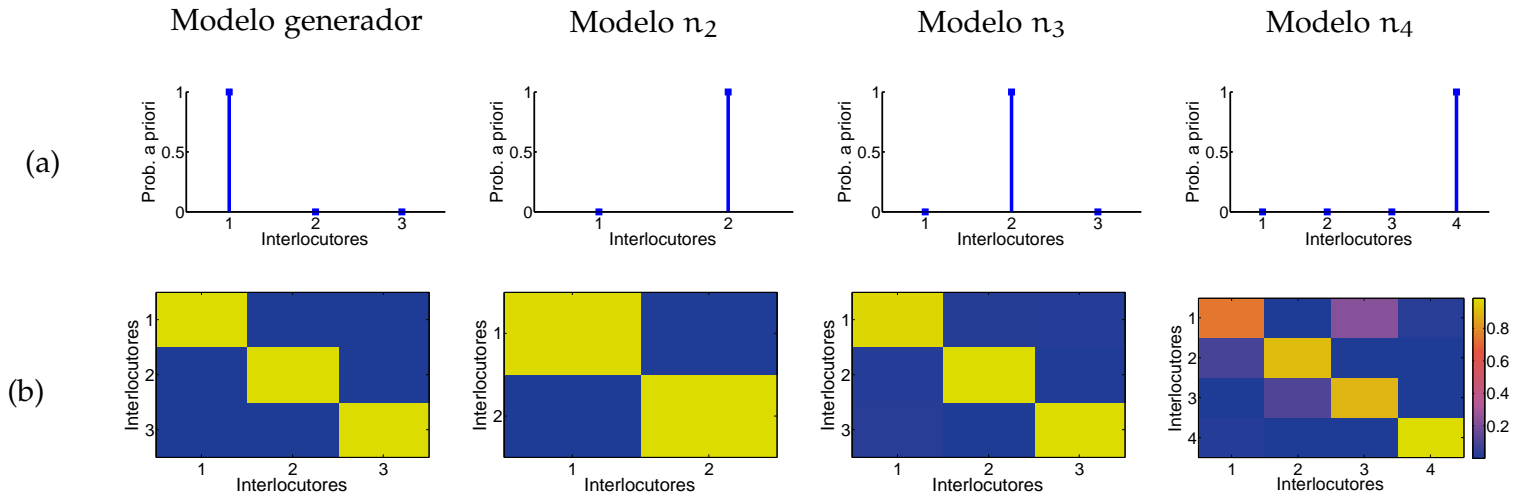
obtenida será mayor, pues al menos todas las intervenciones de un hablante no podrán ser emparejadas o serán asignadas a alguien más.

Se observa también que la mayoría de las veces, en la secuencia recuperada se encuentran algunos brincos entre personas, pero en esencia la estructura y el orden en que hablan los interlocutores es el correcto.

#### 6.1.5 Secuencia 5: Calderón de la Barca

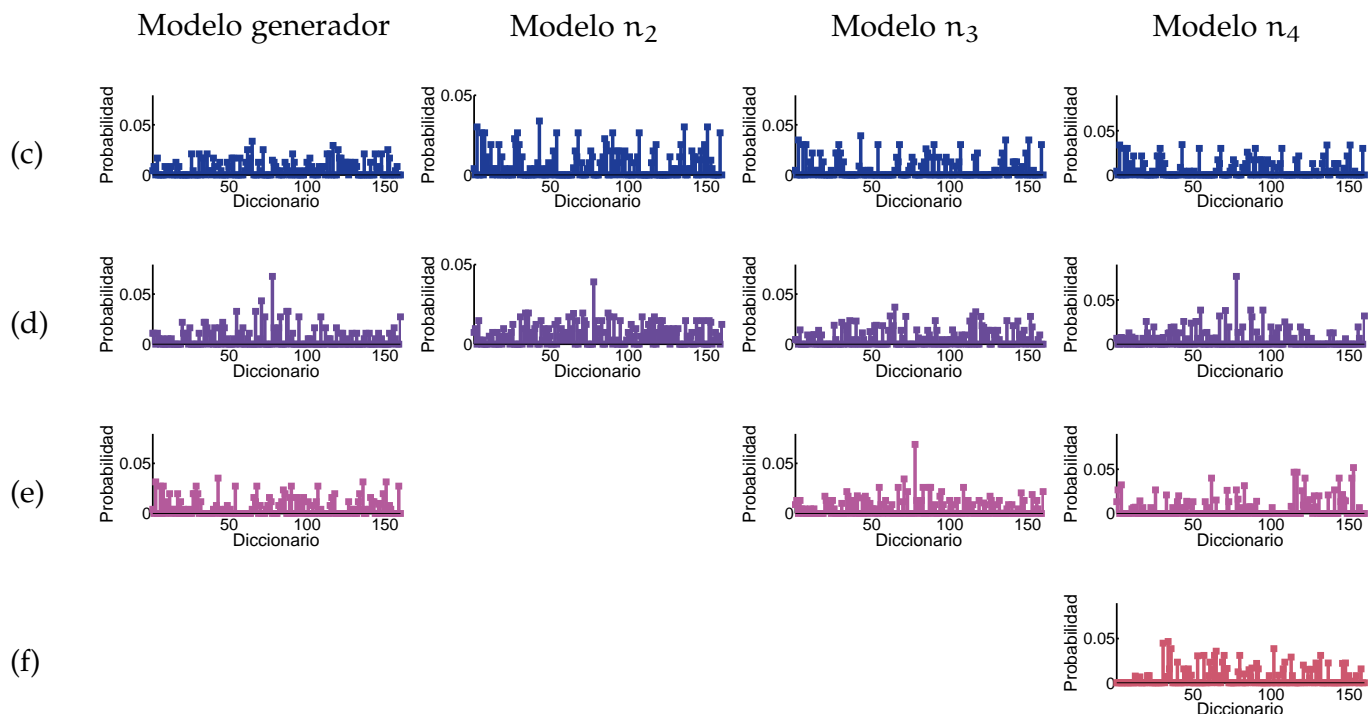
En esta quinta secuencia se trabajó con varios fragmentos del poema 'La vida es sueño' del escritor Pedro Calderón de la Barca, usándose 3 diferentes voces en español. La secuencia de audio original es de 11:18 min.

Para la etapa de agrupación de los vectores MFCC con k-means++ se usaron 160 centros iniciales, mientras que el banco de filtros fue el usado en las secuencias anteriores.



**Figura 6.21:** Por columnas, se muestran los parámetros obtenidos para varios modelos propuestos. La primera columna corresponde a los parámetros verdaderos. En la primera fila (a) se muestran las probabilidades a priori de que cada uno de los interlocutores empiecen la conversación. En la segunda fila (b) se muestra en falso color la matriz de transición entre interlocutores para cada uno de los modelos mostrados.

En las [Figura 6.21](#) y [Figura 6.22](#) se muestran los parámetros estimados para los diferentes modelos que se propusieron. La primer



**Figura 6.22:** Por columnas, se muestran las probabilidades de emisión para cada uno de los interlocutores de acuerdo al modelo. Cada fila representa las probabilidades de emisión de las palabras en el diccionario. La fila (c) para la primera persona, la fila (d) para la segunda persona y así de forma consecutiva, de acuerdo al número de personas que contempla cada modelo propuesto.

columna corresponde a los parámetros verdaderos, mientras que las demás columnas son los parámetros obtenidos para diferentes modelos estimados.

En la primera fila de la [Figura 6.21](#) se muestran las probabilidades a priori de que cada uno de los interlocutores empiecen el diálogo. En la segunda fila se muestra en falso color la matriz de transición para cada uno de los modelos. Esta matriz representa la probabilidad de cambio entre las personas que participan en la conversación.

Se observa como en general para todos los modelos propuestos la matriz de transición que se recupera tiene una estructura diagonal, puesto que en este tipo de problemas, una persona suele hablar durante un periodo considerablemente largo, para que luego otra persona empiece a hablar.

En la ?? se muestran las probabilidades de emisión para cada uno de los participantes, de acuerdo a las palabras en las que se ha discretizado la conversación. Idealmente, cada interlocutor tiene asignadas con mayor probabilidad un cierto conjunto de palabras



**Figura 6.23:** En la [Figura 6.23a](#), se muestra las curvas de nivel de la superficie al variar el valor de  $\lambda$  para evaluar BIC, así como la dirección del gradiente en la misma. En la [Figura 6.23b](#) se muestra una perspectiva general de superficie en [Figura 6.23a](#). En la [Figura 6.23c](#) se muestra el valor seleccionado para  $\lambda$  de acuerdo al análisis de sensibilidad realizado en la superficie anterior.

del diccionario, lo que hace que la identificación de las personas sea mucho más fácil de realizar.

Para la selección del modelo y siguiendo la metodología propuesta, primero se efectúa una inspección por medio de BIC regularizado para encontrar cuál o cuáles son los modelos más probables.

En la [Figura 6.23b](#) se muestra la superficie generada al variar el valor de  $\lambda$  para diferentes curvas de selección BIC. Se observa cómo al principio  $\lambda$  es muy pequeño, y entonces el término de penalización no funciona por lo que se prefieren los modelos más complejos y sobre ajustados. Por otro lado, cuando  $\lambda$  es muy grande, la penalización no permite mas que escoger los modelos más simples.

Haciendo un análisis de sensibilidad se puede determinar cuál es el parámetro  $\lambda$  adecuado que penaliza de buena forma la log-verosimilitud.

En la [Figura 6.23a](#) se muestran las curvas de nivel de la figura anterior, además de la dirección del gradiente de la misma. Así mismo, en falso color se resaltan las zonas en las que el gradiente es menor.

Lo que nos interesa encontrar en la superficie, es el valor de  $\lambda$  que representa el punto de inflexión entre la selección de modelos demasiado complejos y modelos más simples. Para esto, se busca la zona en la que el gradiente sea lo más cercano a cero, pues implicaría que es un punto crítico.

Debido a la escala y a la forma en la que se calculó el gradiente, aunque para algunos valores cercanos de  $\lambda$  no haya mucha variación en esa dirección; si BIC está penalizando mal, entonces sí habrá gran variación para los diferentes modelos. Es por esto, que sólo en la zona en que la penalización sea del mismo orden de magnitud que la verosimilitud la variación en la curva BIC con el  $\lambda$  adecuado no será tan grande como en otras zonas.

Por último, se muestra en [Figura 6.23c](#) la curva BIC con el valor de  $\lambda$  encontrado a partir del análisis de sensibilidad realizado en la [Figura 6.23a](#). El o los modelos que tengan un mayor valor BIC serán los que se seleccionarán como modelos ganadores.

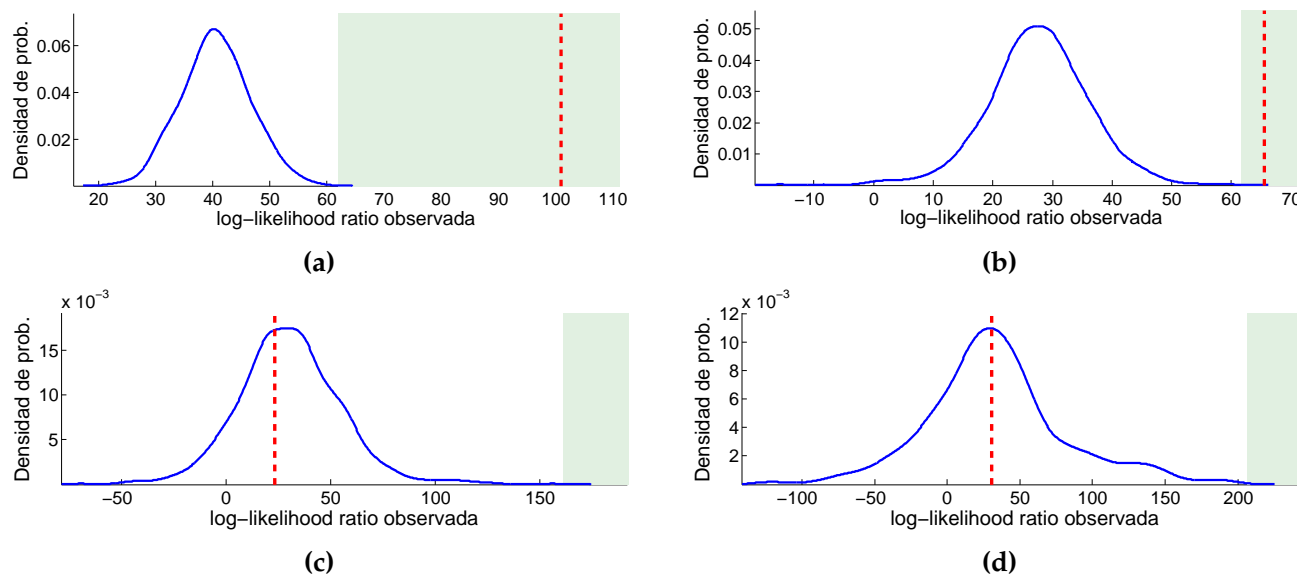
En caso de que después de utilizar BIC se presente ambigüedad para determinar un modelo ganador, o ya sea para realizar un análisis más exhaustivo, se puede proponer hacer una prueba de hipótesis para determinar cuál modelo se ajusta mejor a los datos.

A diferencia de la primer etapa, en la que se usa BIC como criterio para seleccionar el mejor modelo de un conjunto no definido de modelos con diferentes parámetros, la intención de hacer pruebas de hipótesis es determinar en un pequeño conjunto de probables modelos, cuál es mejor, y qué tan bueno es un modelo respecto a otro.

Al plantear la prueba de hipótesis se harán una gran cantidad de simulaciones para ver qué tan bien se ajusta cada modelo a los datos originales, por lo que este proceso es computacionalmente intensivo y sólo se recomienda hacerlo para evitar la ambigüedad entre un par de modelos.

...

Por último, ya con el modelo seleccionado, se procede a calcular el error relativo de predicción que se obtuvo, comparando con el ground truth que se dispone para esa secuencia, con lo que se obtiene:

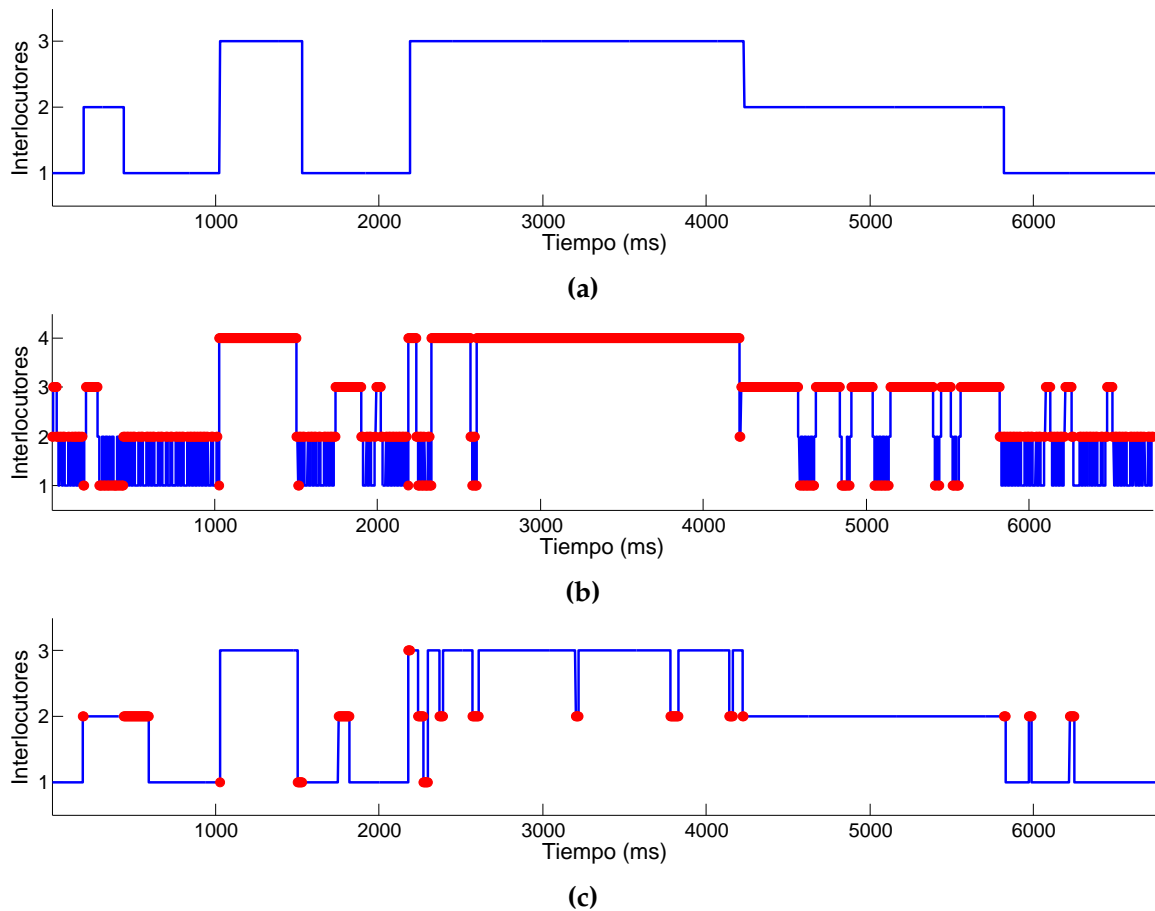


**Figura 6.24:** En la [Figura 6.24a](#) se muestra la prueba de hipótesis realizada para comparar el modelo  $\mathfrak{n}_2$  contra  $\mathfrak{n}_3$ . Como se observa, se rechaza la hipótesis de que el modelo correcto sea  $\mathfrak{n}_2$ . En la [Figura 6.24b](#) se hace la prueba del modelo  $\mathfrak{n}_3$  contra  $\mathfrak{n}_4$ , y se vuelve a rechazar la hipótesis nula, aunque queda muy cerca del umbral de decisión. Realizando la prueba de  $\mathfrak{n}_4$  contra  $\mathfrak{n}_5$  en la [Figura 6.24c](#) en este caso el valor observado no cae dentro de la región de rechazo, por lo que no podemos rechazar que el modelo  $\mathfrak{n}_4$  sea el correcto. Por último en la [Figura 6.24d](#), se hace la prueba del modelo  $\mathfrak{n}_5$  contra el modelo  $\mathfrak{n}_5$ , y vuelve a suceder lo mismo que en el caso anterior. Como para las últimas dos pruebas no se pudo rechazar la hipótesis nula, se preferirá siempre la que involucre al modelo más sencillo. Cabe recalcar también que si se hicieran las pruebas de hipótesis con una significancia menor, entonces desde la segunda prueba se tendría al modelo ganador,

...

Más a detalle, en la [Figura 6.25](#) se observa en azul el orden en el que participan los interlocutores de acuerdo a la secuencia recuperada. En rojo se marcan tanto los falsos positivos como los falsos negativos, de acuerdo al ground truth. Hay que notar que cuando el número de estados para un modelo no es el correcto, entonces inminentemente el número de errores en la secuencia obtenida será mayor, pues al menos todas las intervenciones de un hablante no podrán ser emparejadas o serán asignadas a alguien más.

Se observa también que la mayoría de las veces, en la secuencia recuperada se encuentran algunos brinco entre personas, pero en esencia la estructura y el orden en que hablan los interlocutores es el correcto.



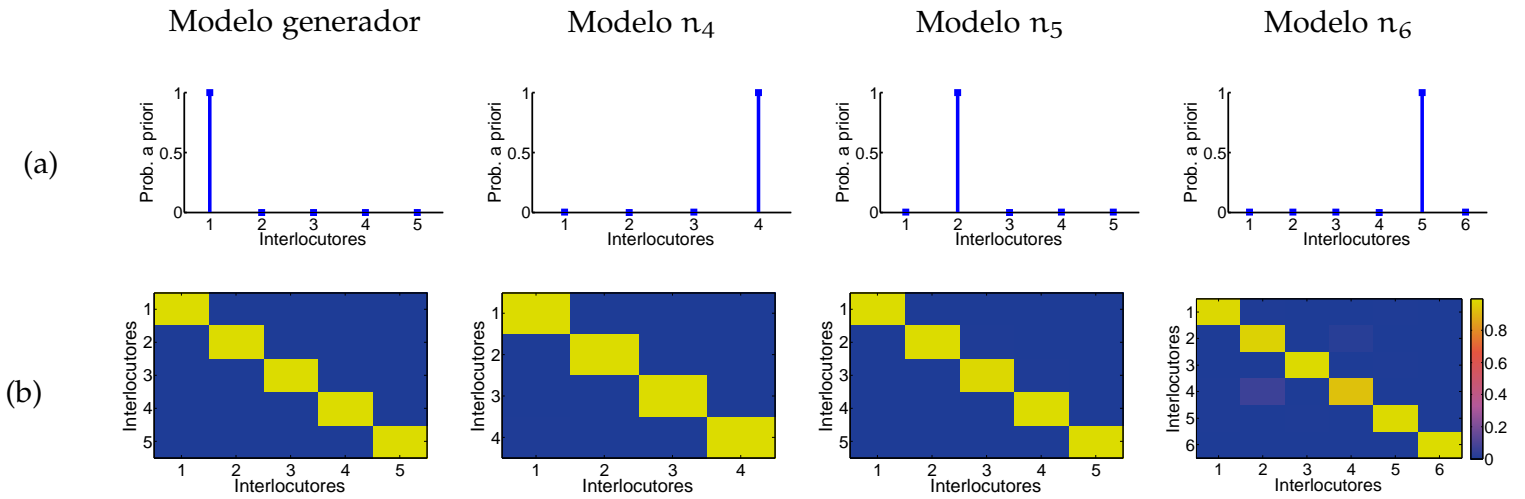
**Figura 6.25:** En [Figura 6.25a](#) se muestra la secuencia original de la [Subsección 6.1.5](#). En comparación, en [Figura 6.25b](#) se muestra la secuencia recuperada del modelo ganador y se marcan en rojo los errores cometidos respecto a la primera secuencia. Por último, se muestra en [Figura 6.25c](#) la el modelo que debió haber ganado en caso de que se usara una significancia más baja para las pruebas.

#### 6.1.6 Secuencia 6: Andrew Lloyd Webber

Para la última secuencia de prueba se utilizaron fragmentos de la obra musical 'Cats', escrita por Andrew Lloyd Webber, usando 5 voces distintas en inglés. La secuencia de audio original tiene una duración de 6:48 min.

Para la etapa de agrupación de los vectores MFCC con k-means++ se usaron 90 centros iniciales, usando el mismo banco de filtros.

En las [Figura 6.26](#) y ?? se muestran los parámetros estimados para los diferentes modelos que se propusieron. La primer columna corresponde a los parámetros verdaderos, mientras que las demás



**Figura 6.26:** Por columnas, se muestran los parámetros obtenidos para varios modelos propuestos. La primer columna corresponde a los parámetros verdaderos. En la primer fila (a) se muestran las probabilidades a priori de que cada uno de los interlocutores empiecen la conversación. En la segunda fila (b) se muestra en falso color la matriz de transición entre interlocutores para cada uno de los modelos mostrados.

columnas son los parámetros obtenidos para diferentes modelos estimados.

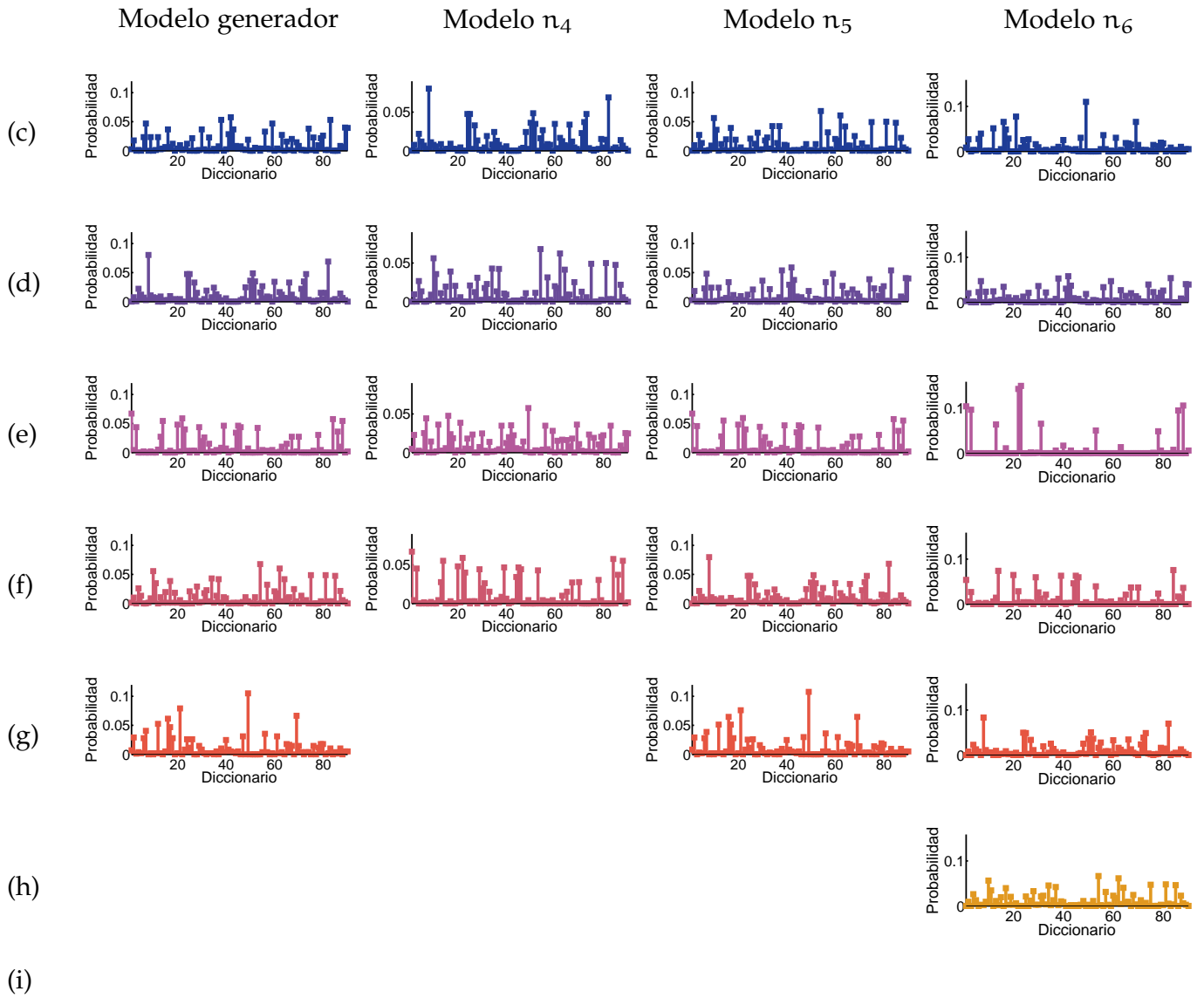
En la primer fila de la [Figura 6.26](#) se muestran las probabilidades a priori de que cada uno de los interlocutores empiecen el diálogo. En la segunda fila se muestra en falso color la matriz de transición para cada uno de los modelos. Esta matriz representa la probabilidad de cambio entre las personas que participan en la conversación.

Se observa como en general para todos los modelos propuestos la matriz de transición que se recupera tiene una estructura diagonal, puesto que en este tipo de problemas, una persona suele hablar durante un periodo considerablemente largo, para que luego otra persona empiece a hablar.

En la ?? se muestran las probabilidades de emisión para cada uno de los participantes, de acuerdo a las palabras en las que se ha discretizado la conversación. Idealmente, cada interlocutor tiene asignadas con mayor probabilidad un cierto conjunto de palabras del diccionario, lo que hace que la identificación de las personas sea mucho más fácil de realizar.

Para la selección del modelo y siguiendo la metodología propuesta, primero se efectúa una inspección por medio de BIC regu-

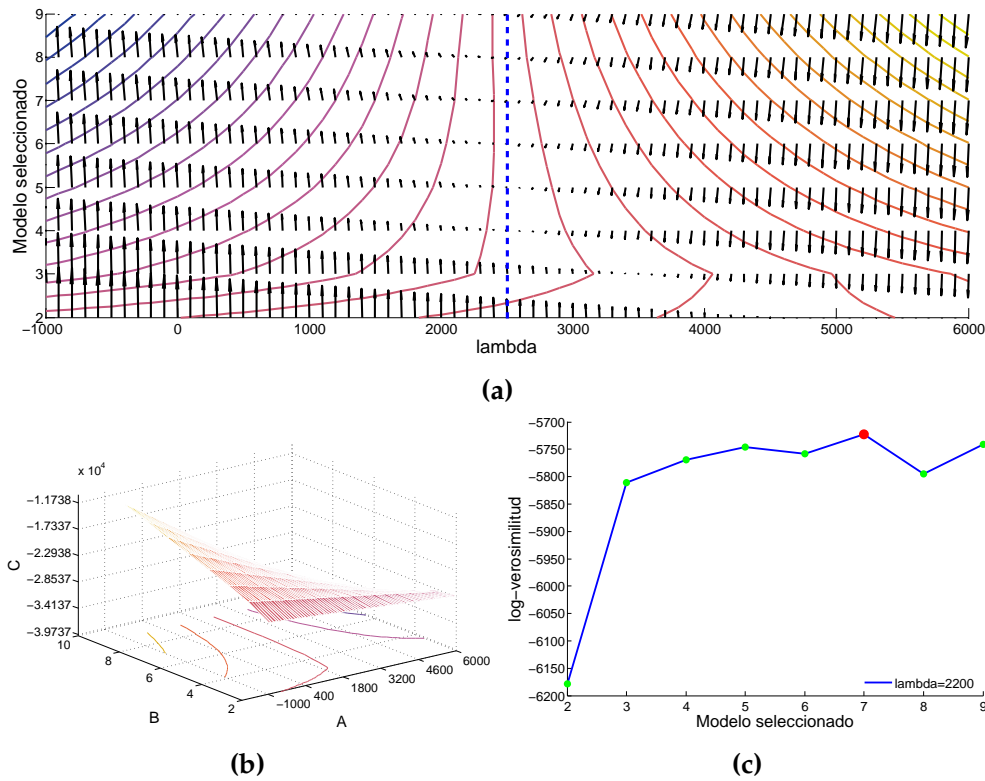




**Figura 6.27:** Por columnas, se muestran las probabilidades de emisión para cada uno de los interlocutores de acuerdo al modelo. Cada fila representa las probabilidades de emisión de las palabras en el diccionario. La fila (c) para la primera persona, la fila (d) para la segunda persona y así de forma consecutiva, de acuerdo al número de personas que contempla cada modelo propuesto.

larizado para encontrar cuál o cuáles son los modelos más probables.

En la [Figura 6.28b](#) se muestra la superficie generada al variar el valor de  $\lambda$  para diferentes curvas de selección BIC. Se observa cómo al principio  $\lambda$  es muy pequeño, y entonces el término de penalización no funciona por lo que se prefieren los modelos más complejos y sobre ajustados. Por otro lado, cuando  $\lambda$  es muy grande, la penalización no permite mas que escoger los modelos más simples.



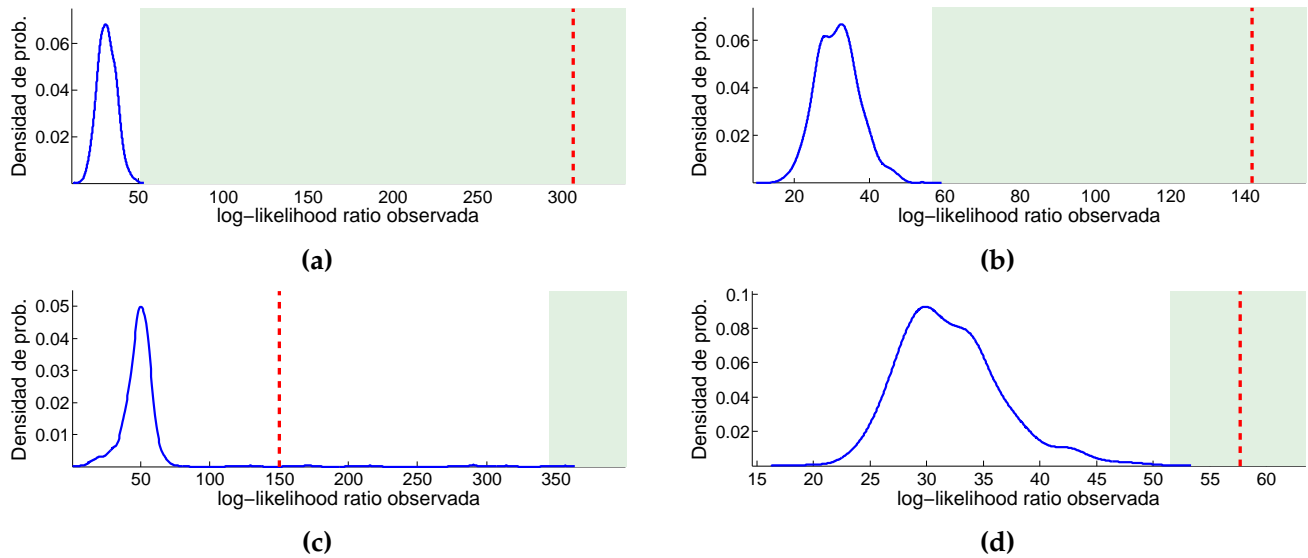
**Figura 6.28:** En la [Figura 6.28a](#), se muestra las curvas de nivel de la superficie al variar el valor de  $\lambda$  para evaluar BIC, así como la dirección del gradiente en la misma. En la [Figura 6.28b](#) se muestra una perspectiva general de superficie en [Figura 6.28a](#). En la [Figura 6.28c](#) se muestra el valor seleccionado para  $\lambda$  de acuerdo al análisis de sensibilidad realizado en la superficie anterior.

Haciendo un análisis de sensibilidad se puede determinar cuál es el parámetro  $\lambda$  adecuado que penaliza de buena forma la log-verosimilitud.

En la [Figura 6.28a](#) se muestran las curvas de nivel de la figura anterior, además de la dirección del gradiente de la misma. Así mismo, en falso color se resaltan las zonas en las que el gradiente es menor.

Lo que nos interesa encontrar en la superficie, es el valor de  $\lambda$  que representa el punto de inflexión entre la selección de modelos demasiado complejos y modelos más simples. Para esto, se busca la zona en la que el gradiente sea lo más cercano a cero, pues implicaría que es un punto crítico.

Debido a la escala y a la forma en la que se calculó el gradiente, aunque para algunos valores cercanos de  $\lambda$  no haya mucha variación en esa dirección; si BIC está penalizando mal, entonces sí habrá gran variación para los diferentes modelos. Es por esto, que



**Figura 6.29:** En la [Figura 6.29a](#) se muestra la prueba de hipótesis realizada para comparar el modelo  $\eta_4$  contra  $\eta_5$ . Como se observa, se rechaza la hipótesis de que el modelo correcto sea  $\eta_4$ . En la [Figura 6.29b](#) se hace la prueba del modelo  $\eta_5$  contra  $\eta_6$ , y de la misma manera, se rechaza la hipótesis de que el modelo correcto sea  $\eta_5$ . Se sigue con la prueba de hipótesis del modelo  $\eta_6$  contra  $\eta_7$  en la [Figura 6.29c](#), y en este caso el valor observado no cae dentro de la región de rechazo, por lo que no podemos rechazar que el modelo  $\eta_6$  sea el correcto. Por último en la [Figura 6.29d](#), se hace la prueba del modelo  $\eta_7$  contra el modelo  $\eta_8$ , y se vuelve a rechazar la hipótesis nula.

sólo en la zona en que la penalización sea del mismo orden de magnitud que la verosimilitud la variación en la curva BIC con el  $\lambda$  adecuado no será tan grande como en otras zonas.

Por último, se muestra en [Figura 6.28c](#) la curva BIC con el valor de  $\lambda$  encontrado a partir del análisis de sensibilidad realizado en la [Figura 6.28a](#). El o los modelos que tengan un mayor valor BIC serán los que se seleccionarán como modelos ganadores.

En caso de que después de utilizar BIC se presente ambigüedad para determinar un modelo ganador, o ya sea para realizar un análisis más exhaustivo, se puede proponer hacer una prueba de hipótesis para determinar cuál modelo se ajusta mejor a los datos.

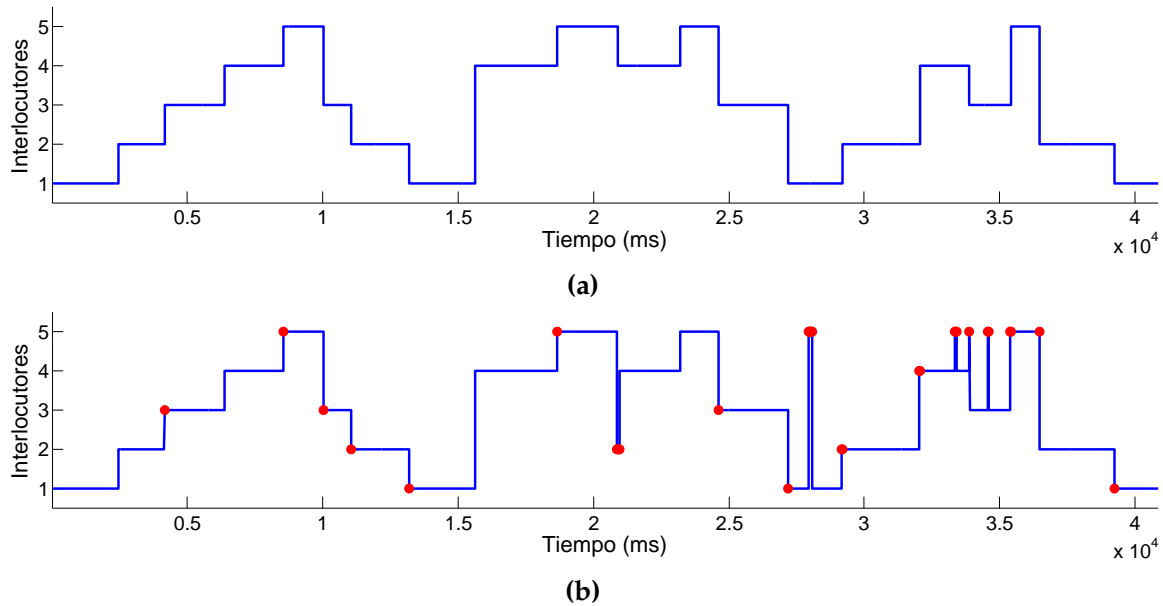
A diferencia de la primer etapa, en la que se usa BIC como criterio para seleccionar el mejor modelo de un conjunto no definido de modelos con diferentes parámetros, la intención de hacer pruebas de hipótesis es determinar en un pequeño conjunto de probables modelos, cuál es mejor, y qué tan bueno es un modelo respecto a otro.

Al plantear la prueba de hipótesis se harán una gran cantidad de simulaciones para ver qué tan bien se ajusta cada modelo a los datos originales, por lo que este proceso es computacionalmente intensivo y sólo se recomienda hacerlo para evitar la ambigüedad entre un par de modelos.

...

Por último, ya con el modelo seleccionado, se procede a calcular el error relativo de predicción que se obtuvo, comparando con el ground truth que se dispone para esa secuencia, con lo que se obtiene:

...



**Figura 6.30:** En *Figura 6.30a* se muestra la secuencia original de la *Subsección 6.1.6*. En comparación, en *Figura 6.30b* se muestra la secuencia recuperada del modelo ganador y se marcan en rojo los errores cometidos respecto a la primera secuencia.

Más a detalle, en la ?? se observa en azul el orden en el que participan los interlocutores de acuerdo a la secuencia recuperada. En rojo se marcan tanto los falsos positivos como los falsos negativos, de acuerdo al ground truth. Hay que notar que cuando el número de estados para un modelo no es el correcto, entonces inminentemente el número de errores en la secuencia obtenida será mayor, pues al menos todas las intervenciones de un hablante no podrán ser emparejadas o serán asignadas a alguien más.

Se observa también que la mayoría de las veces, en la secuencia recuperada se encuentran algunos brincos entre personas, pero en esencia la estructura y el orden en que hablan los interlocutores es el correcto.

## BIBLIOGRAFÍA

---

- [AMBE<sup>+</sup>12] Xavier Anguera Miró, Simon Bozonnet, Nicholas W. D. Evans, Corinne Fredouille, Gerald Friedland, and Oriol Vinyals. Speaker diarization: A review of recent research. *IEEE Transactions on Audio, Speech & Language Processing*, 20:356–370, 2012.
- [AMWPo6] Xavier Anguera Miró, Chuck Wooters, and José M. Pardo. Robust speaker diarization for meetings: Icsi rto6s meetings evaluation system. In Steve Renals, Samy Bengio, and Jonathan G. Fiscus, editors, *MLMI*, volume 4299, pages 346–358, 2006.
- [FBEo9] Corinne Fredouille, Simon Bozonnet, and Nicholas W. D. Evans. The LIA-EURECOM RT’09 Speaker Diarization System. In *RT 2009, NIST Rich Transcription Workshop, May 28-29, 2009, Melbourne, USA*, Melbourne, UNITED STATES, 05 2009.
- [FEo7] Corinne Fredouille and Nicholas W. D. Evans. The lia rt’07 speaker diarization system. In Rainer Stiefel-hagen, Rachel Bowers, and Jonathan G. Fiscus, editors, *CLEAR*, volume 4625 of *Lecture Notes in Computer Science*, pages 520–532. Springer, 2007.
- [Jel98] Frederick Jelinek. *Statistical Methods for Speech Recognition*. Language, Speech, and Communication. MIT Press, 1998.
- [MBIo1] S. Meignier, J.-F. Bonastre, and S. Igounet. E-hmm approach for learning and adapting sound models for speaker indexing. In *ISCA, A Speaker Odyssey, The Speaker Recognition Workshop*, Chiana (Crete), 18-22 Juin 2001 2001.
- [NLSo9] Trung Hieu Nguyen, Haizhou Li, and Chng Eng Siong. Cluster criterion functions in spectral subspace and their application in speaker clustering. In *ICASSP*, pages 4085–4088, 2009.
- [WHo7] Chuck Wooters and Marijn Huijbregts. The icsi rto7s speaker diarization system. In Rainer Stiefel-hagen, Rachel Bowers, and Jonathan G. Fiscus, edi-

tors, *CLEAR*, volume 4625 of *Lecture Notes in Computer Science*, pages 509–519. Springer, 2007.